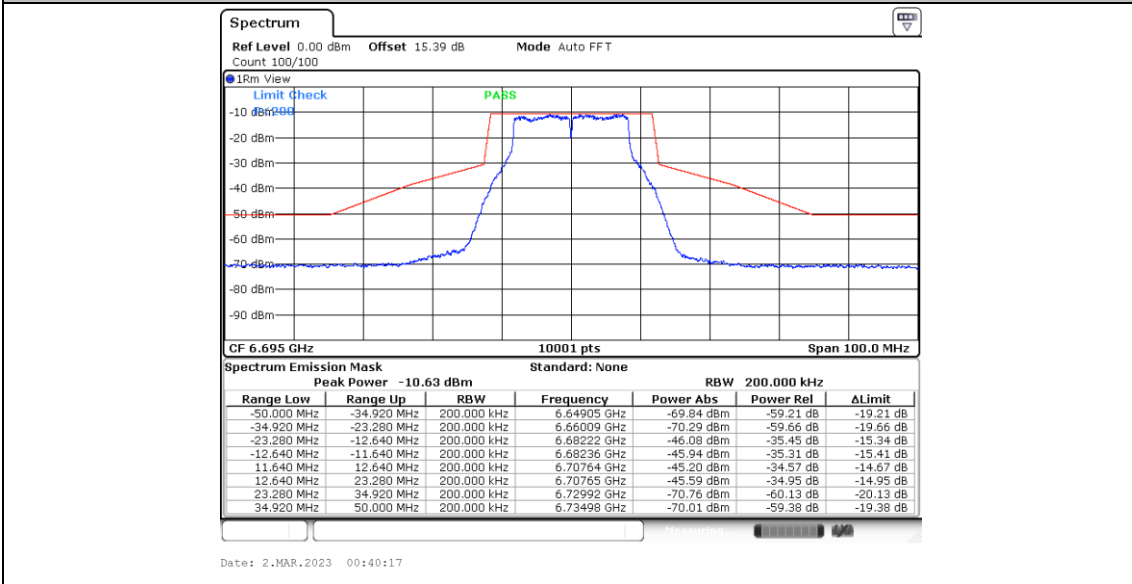
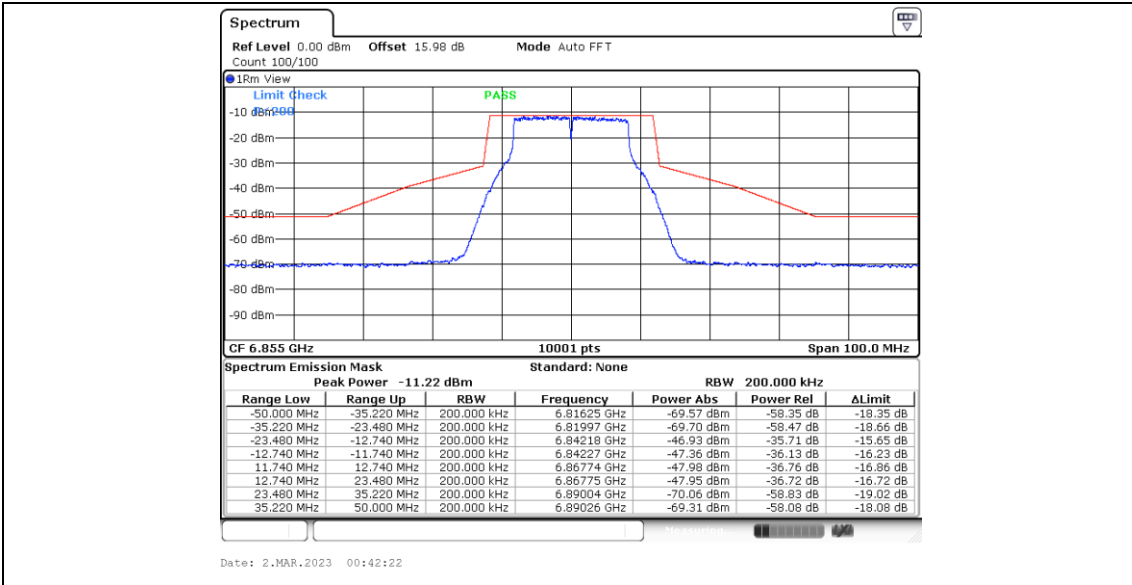


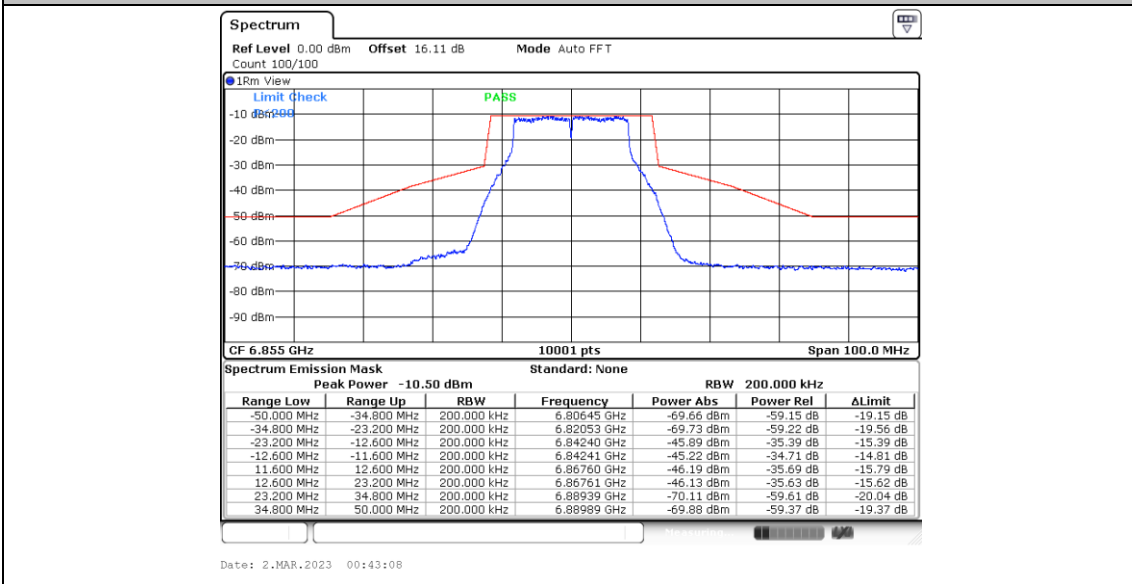
11A-CDD_Ant2_6695



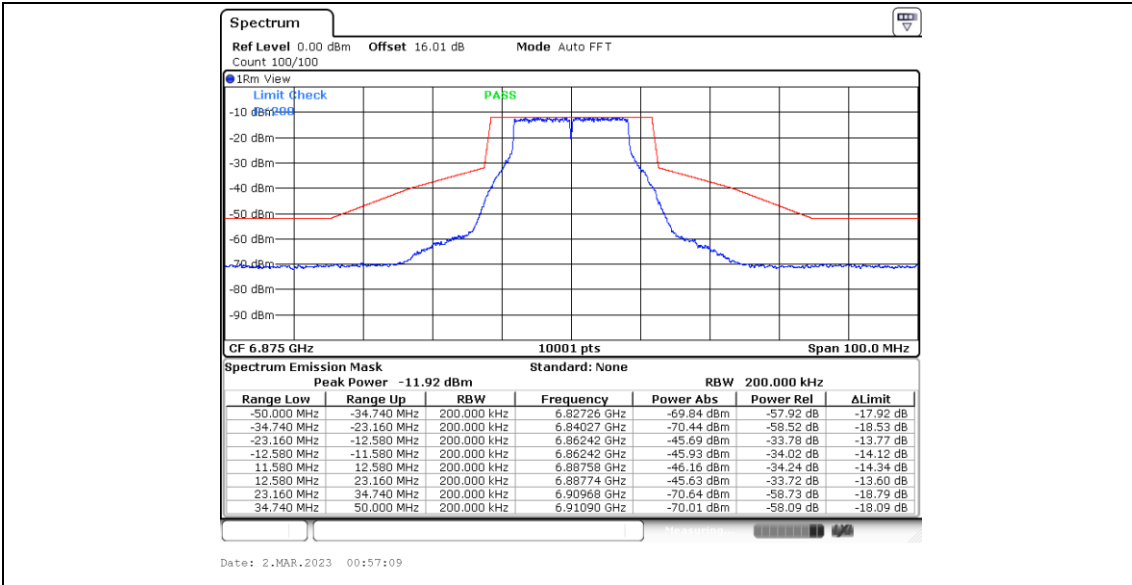
11A-CDD_Ant1_6855



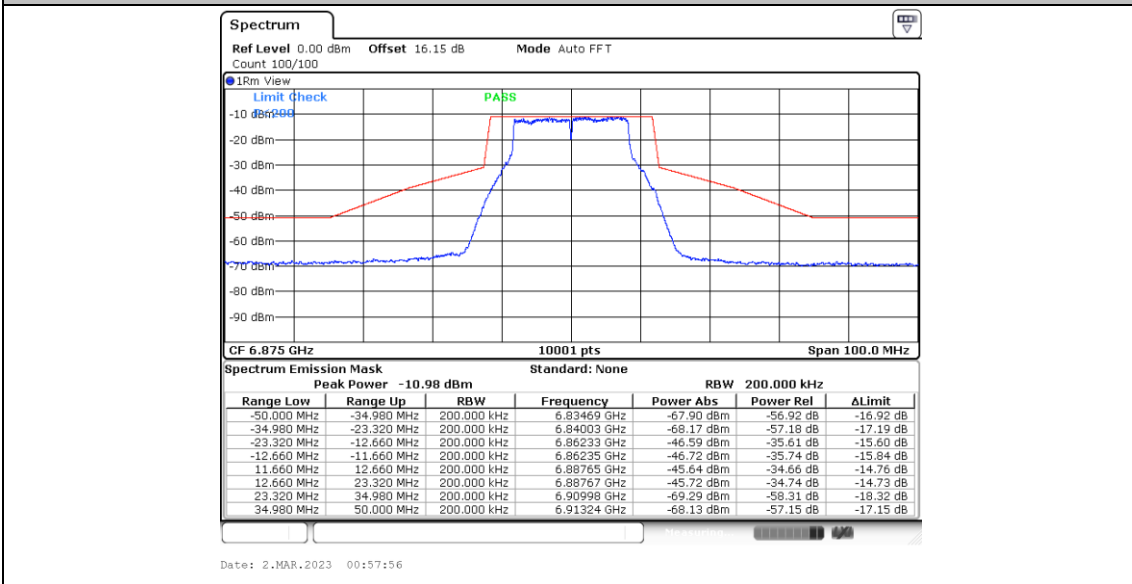
11A-CDD_Ant2_6855



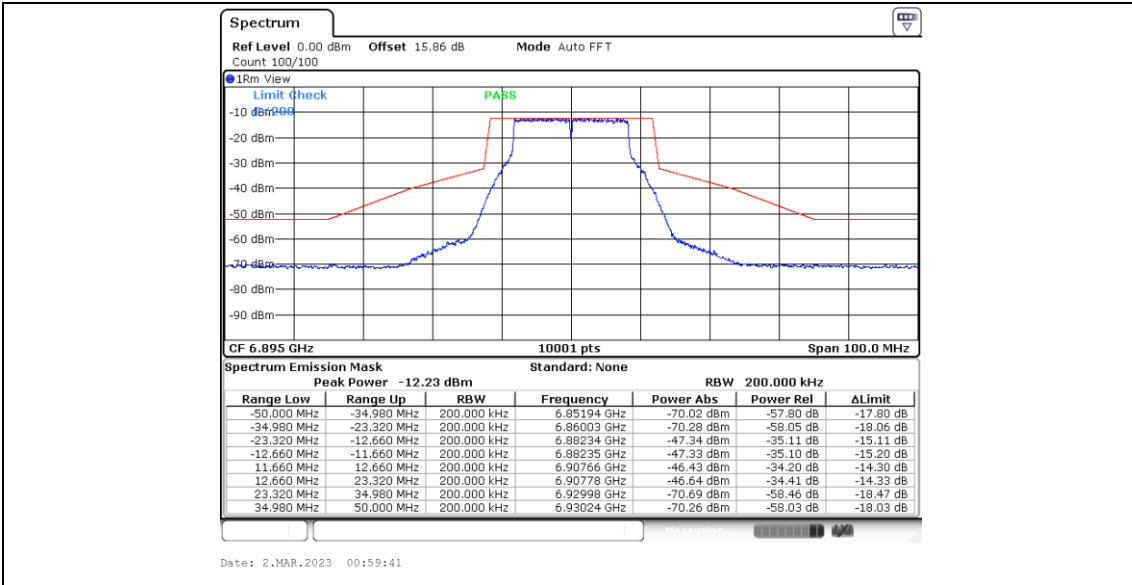
11A-CDD_Ant1_6875



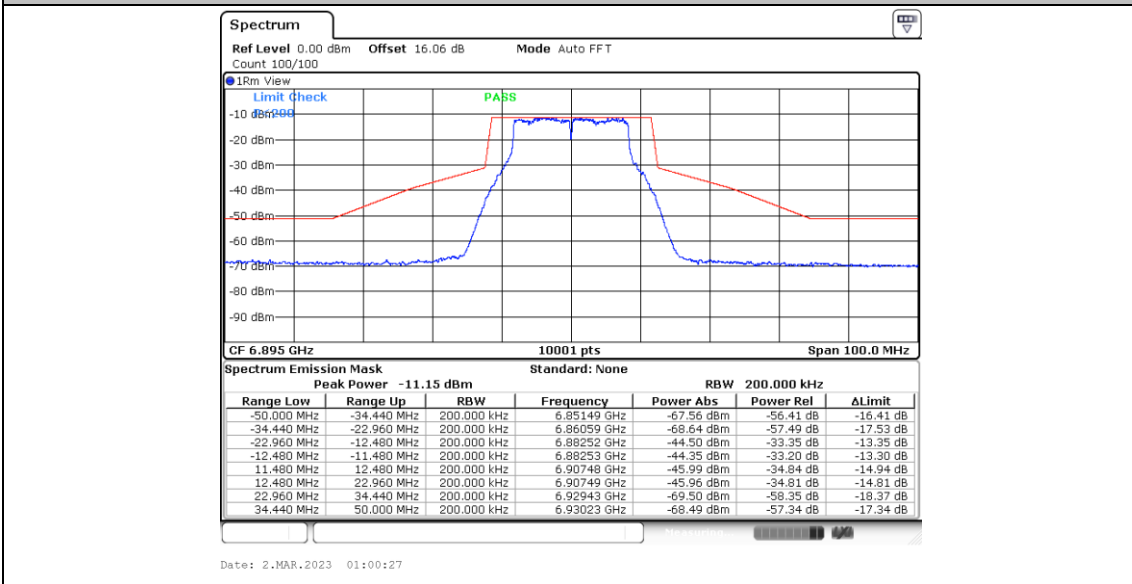
11A-CDD_Ant2_6875



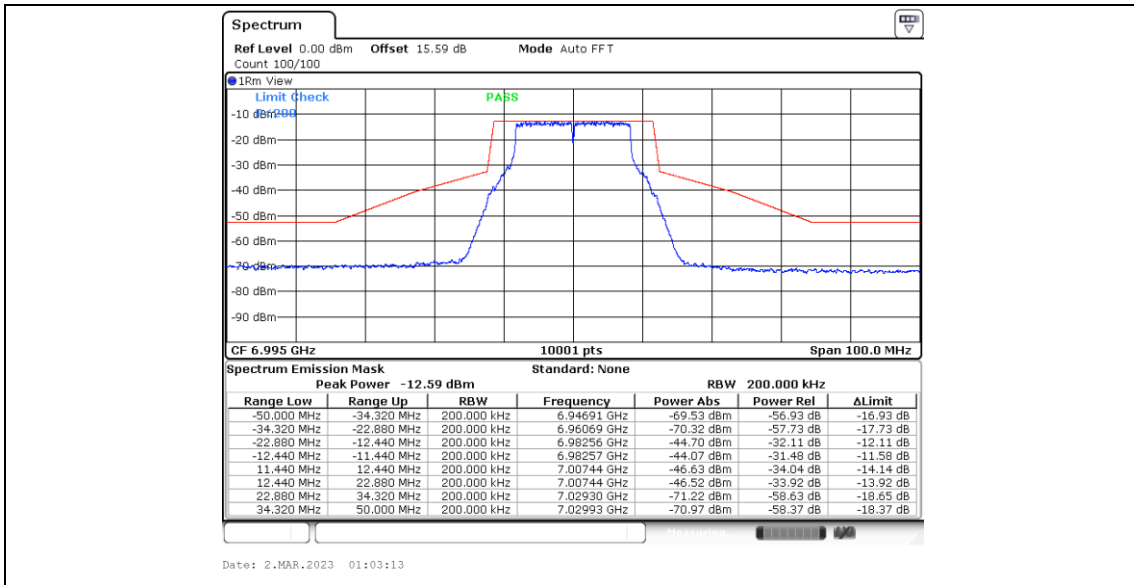
11A-CDD_Ant1_6895



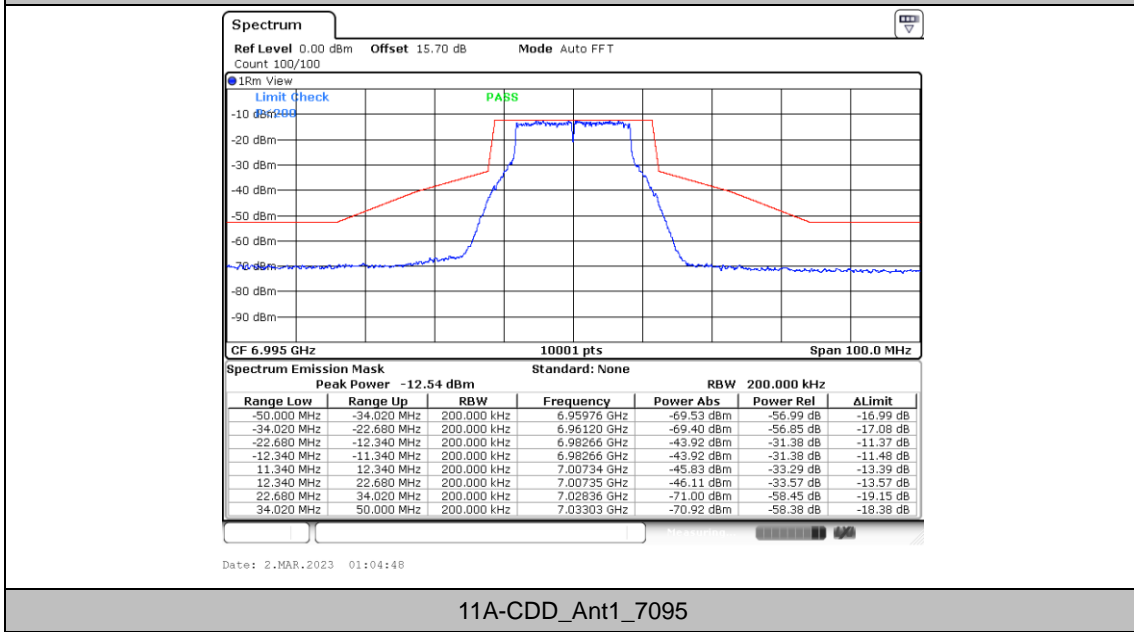
11A-CDD_Ant2_6895



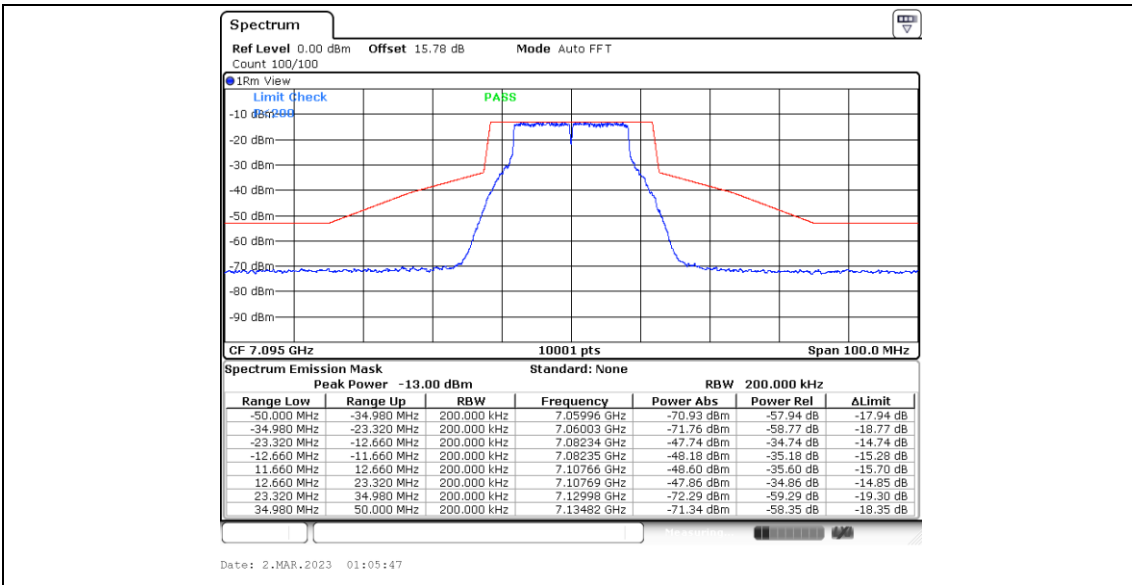
11A-CDD_Ant1_6995



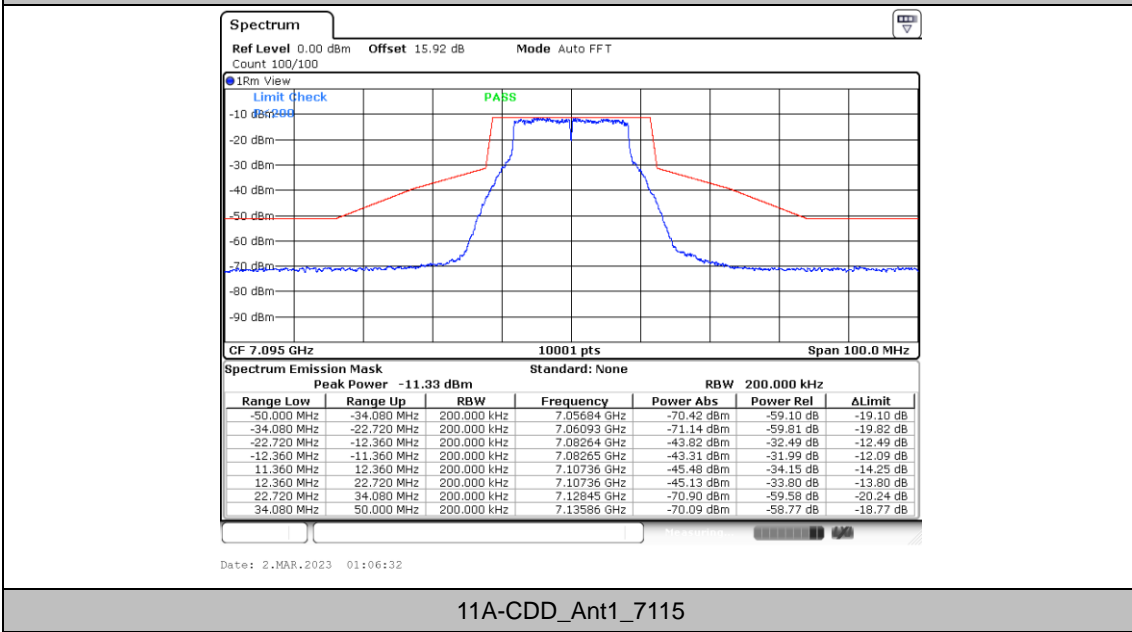
11A-CDD_Ant2_6995



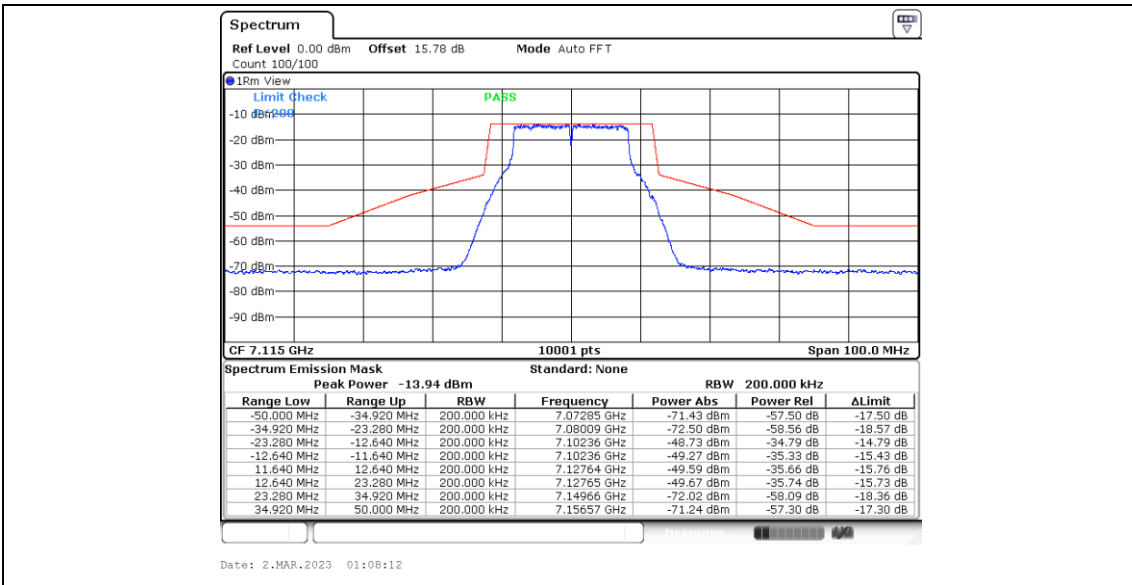
11A-CDD_Ant1_7095



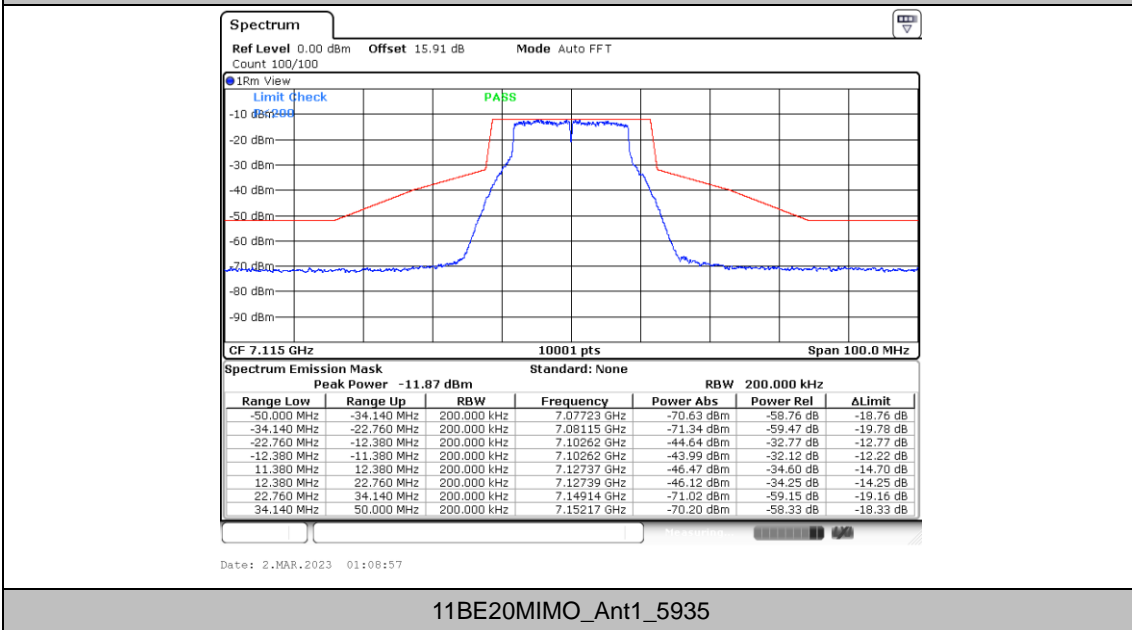
11A-CDD_Ant2_7095



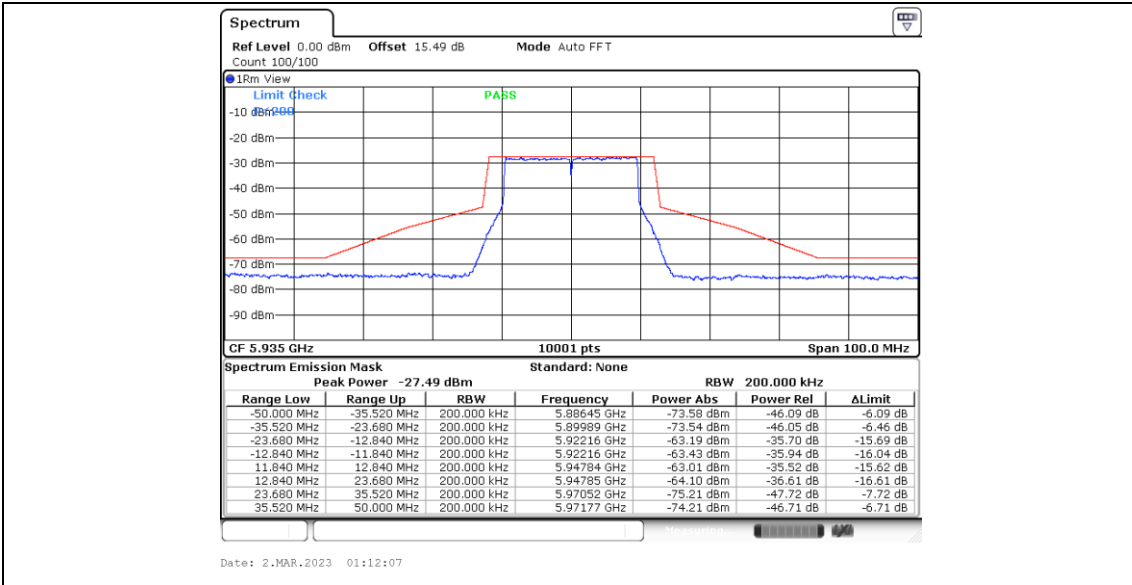
11A-CDD_Ant1_7115



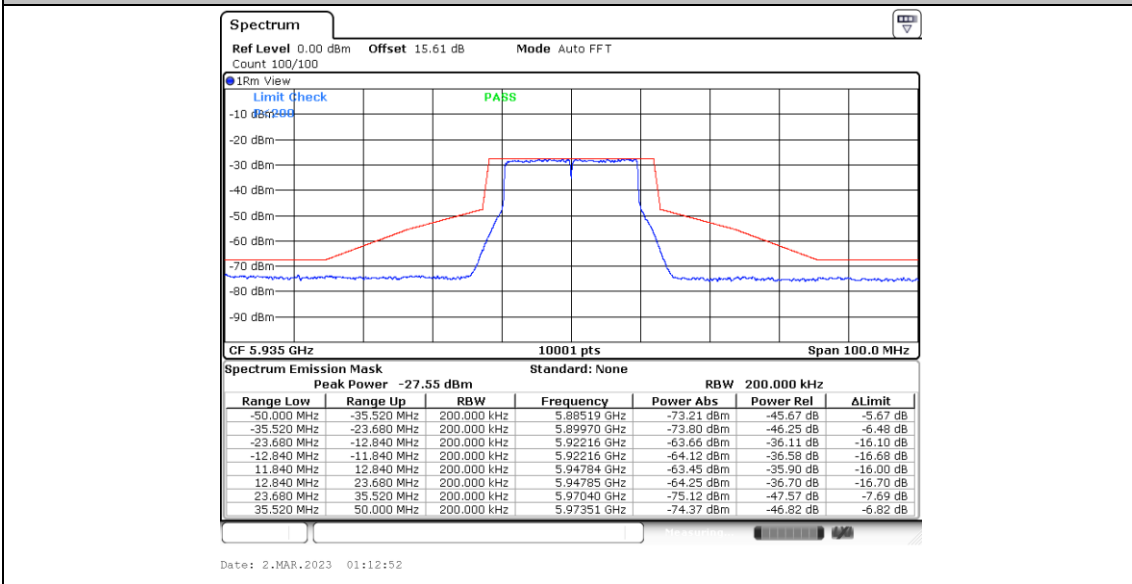
11A-CDD_Ant2_7115



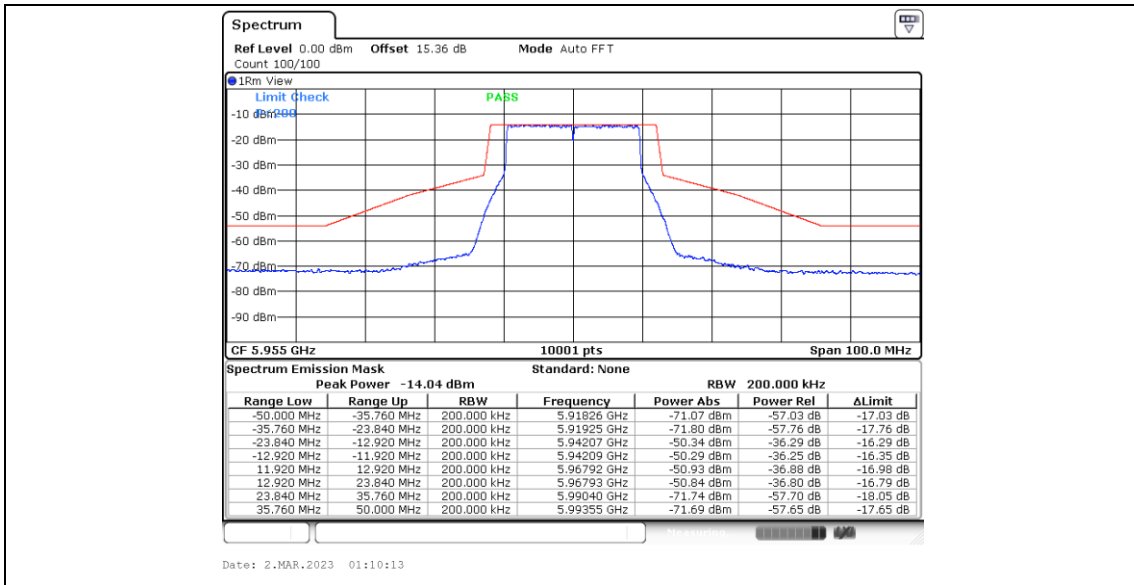
11B20MIMO_Ant1_5935



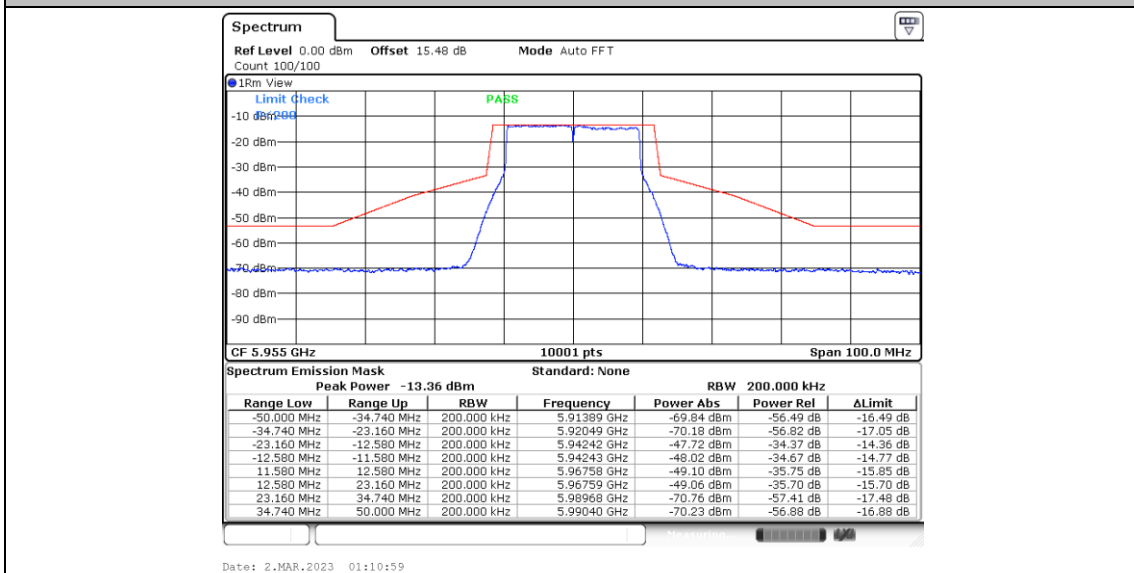
11BE20MIMO_Ant2_5935



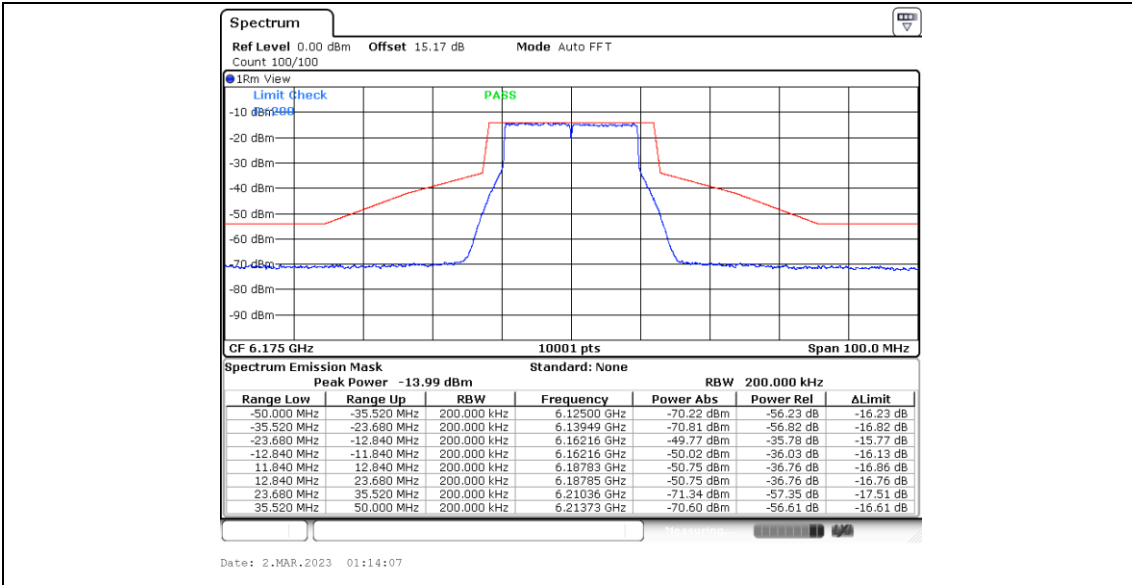
11BE20MIMO_Ant1_5955



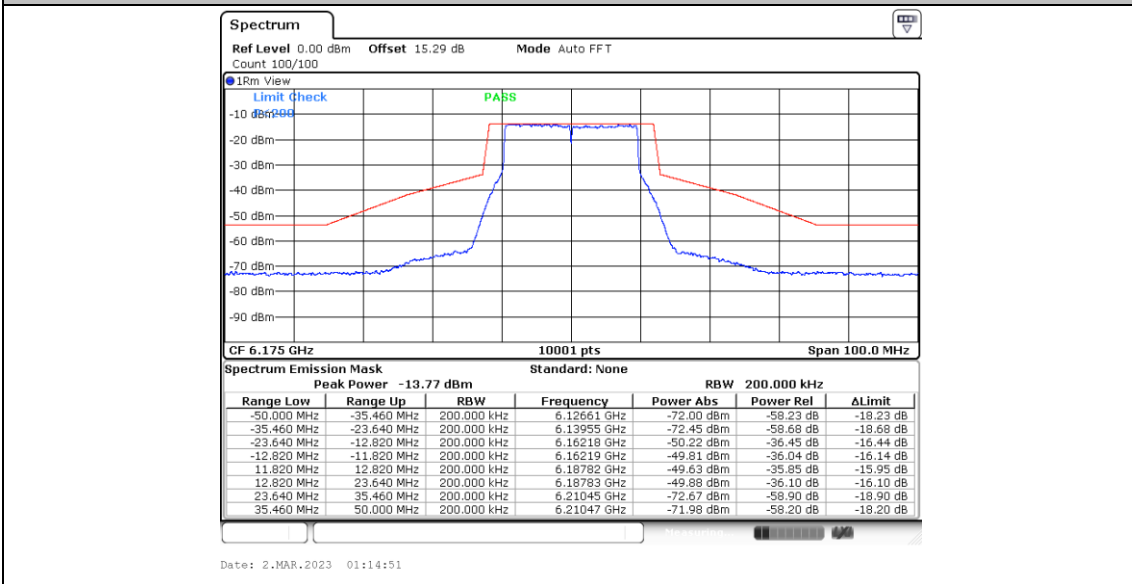
11BE20MIMO_Ant2_5955



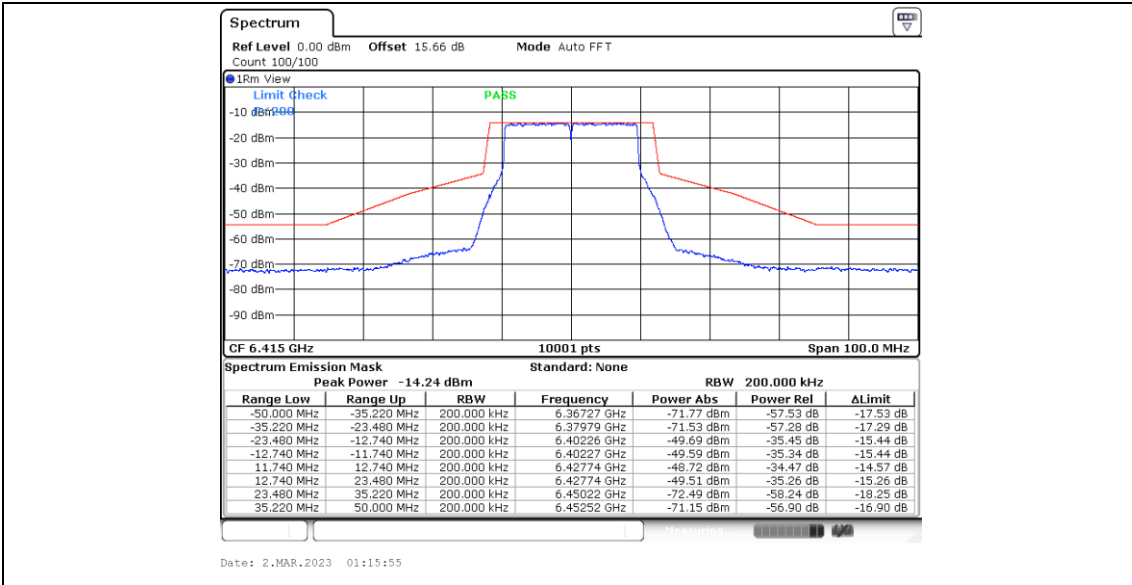
11BE20MIMO_Ant1_6175



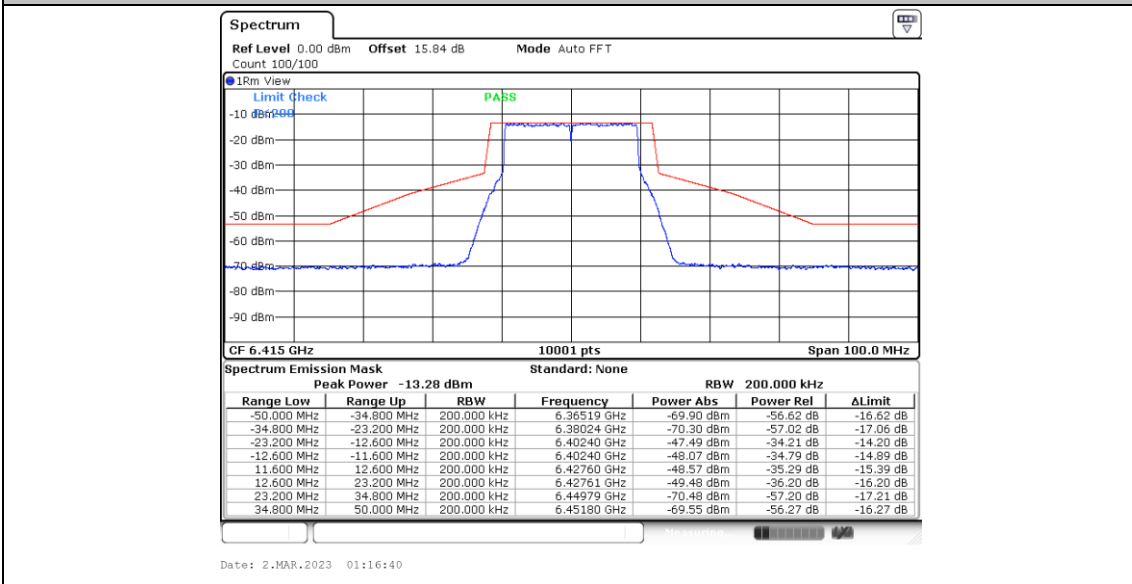
11BE20MIMO_Ant2_6175



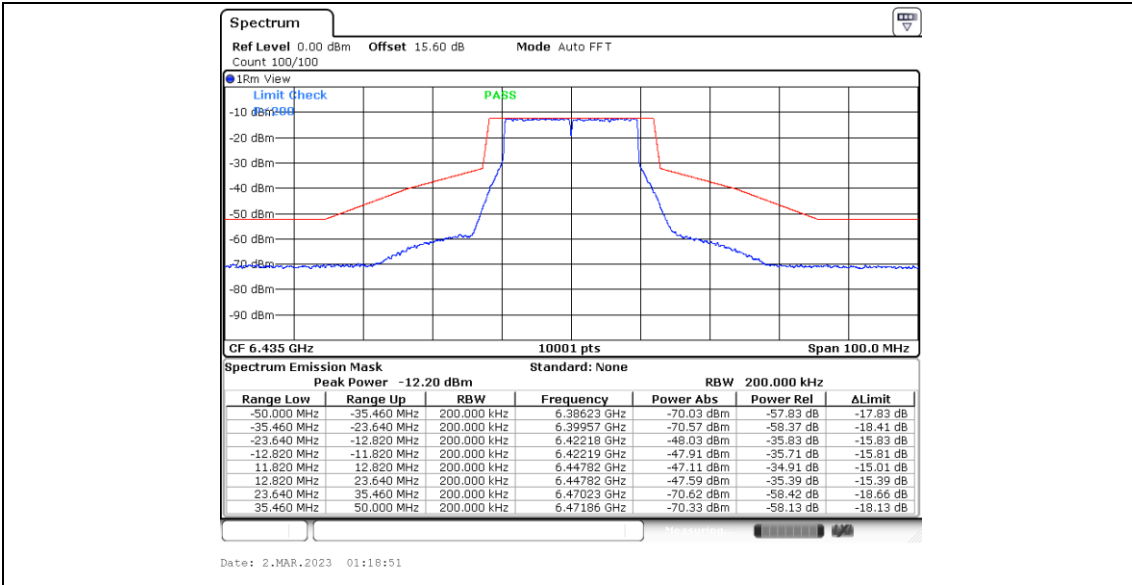
11BE20MIMO_Ant1_6415



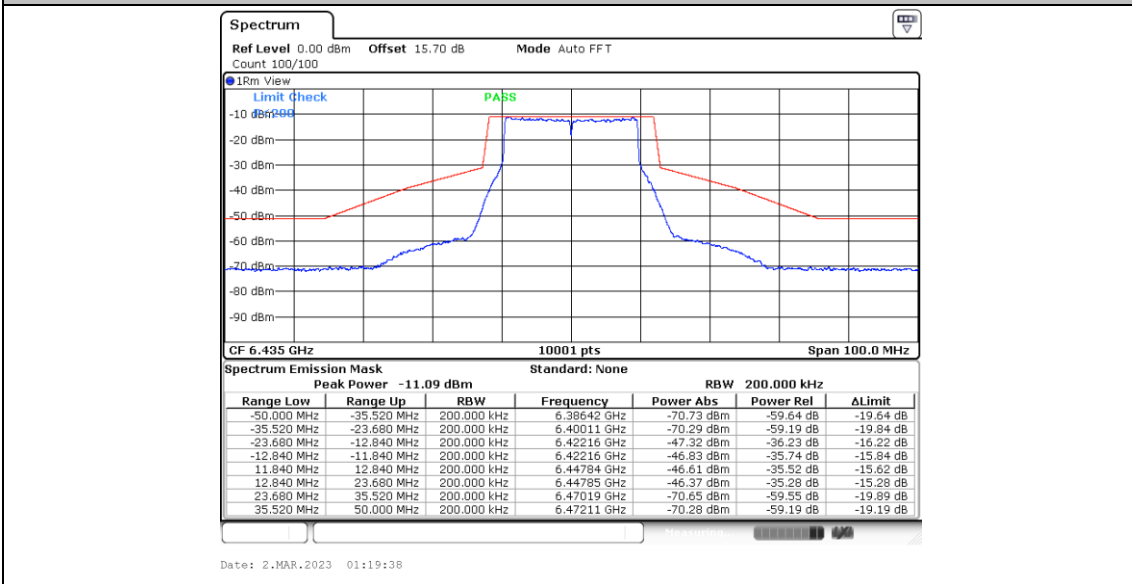
11BE20MIMO_Ant2_6415



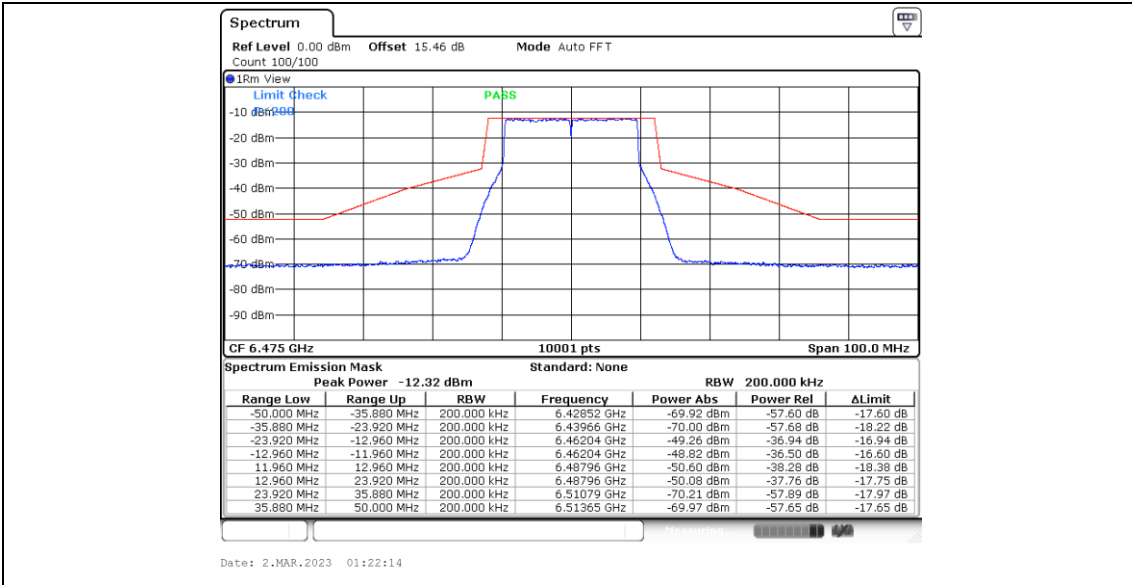
11BE20MIMO_Ant1_6435



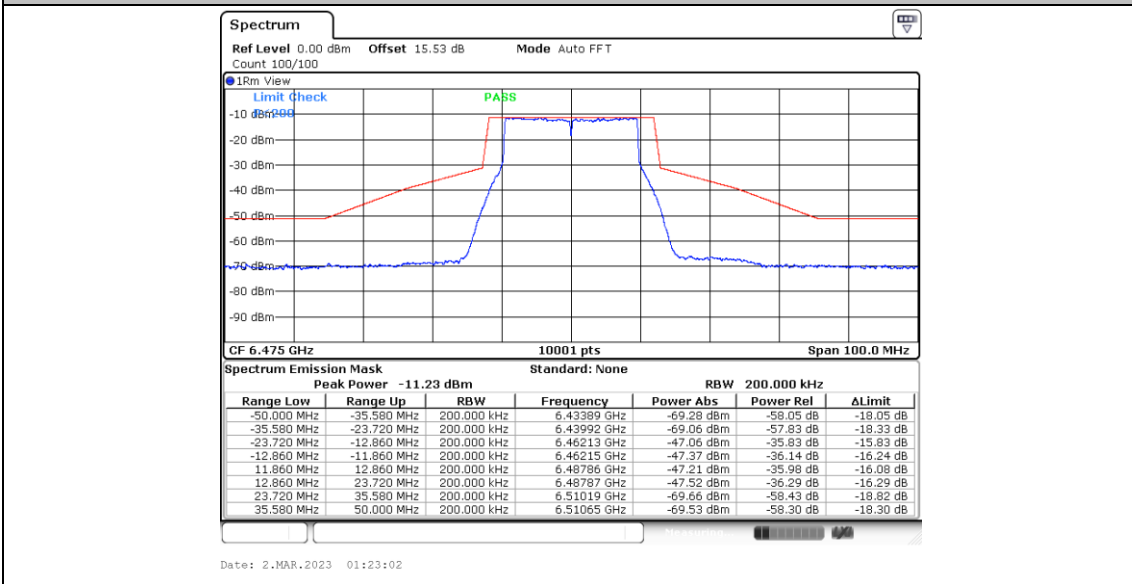
11BE20MIMO_Ant2_6435



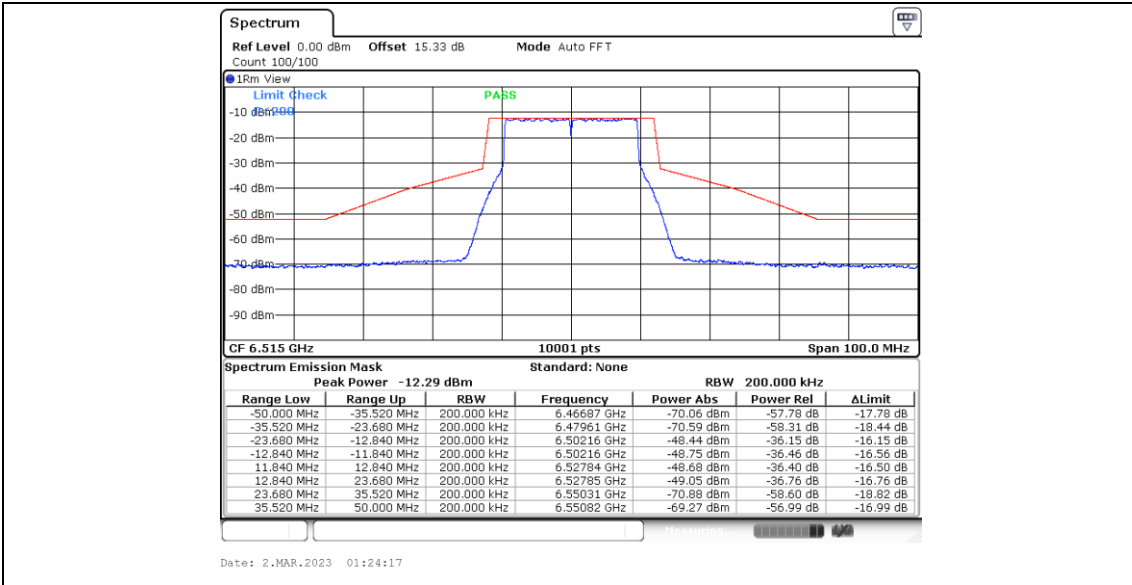
11BE20MIMO_Ant1_6475



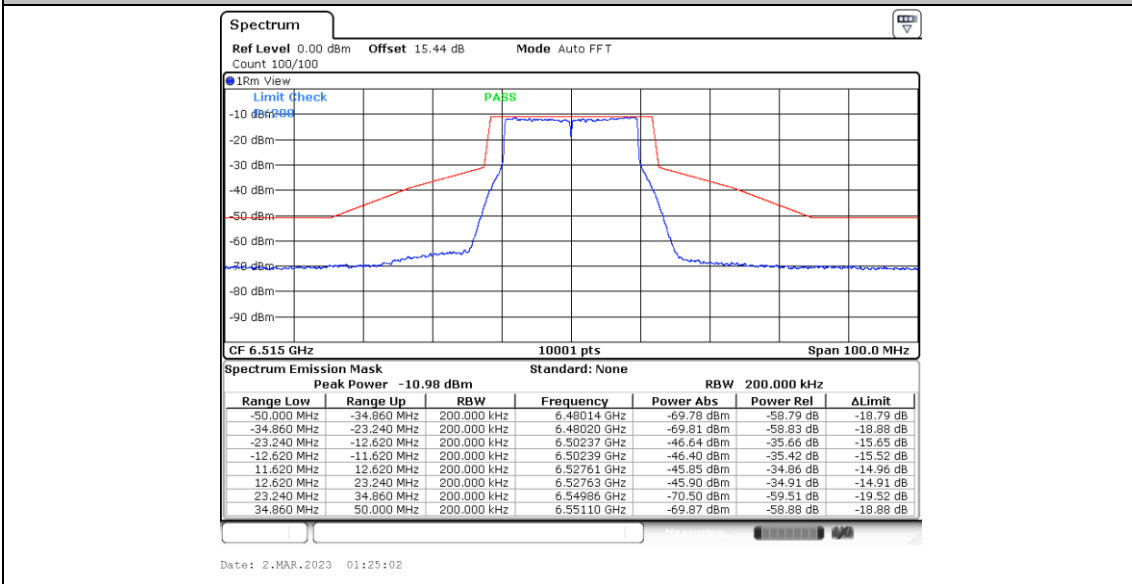
11BE20MIMO_Ant2_6475



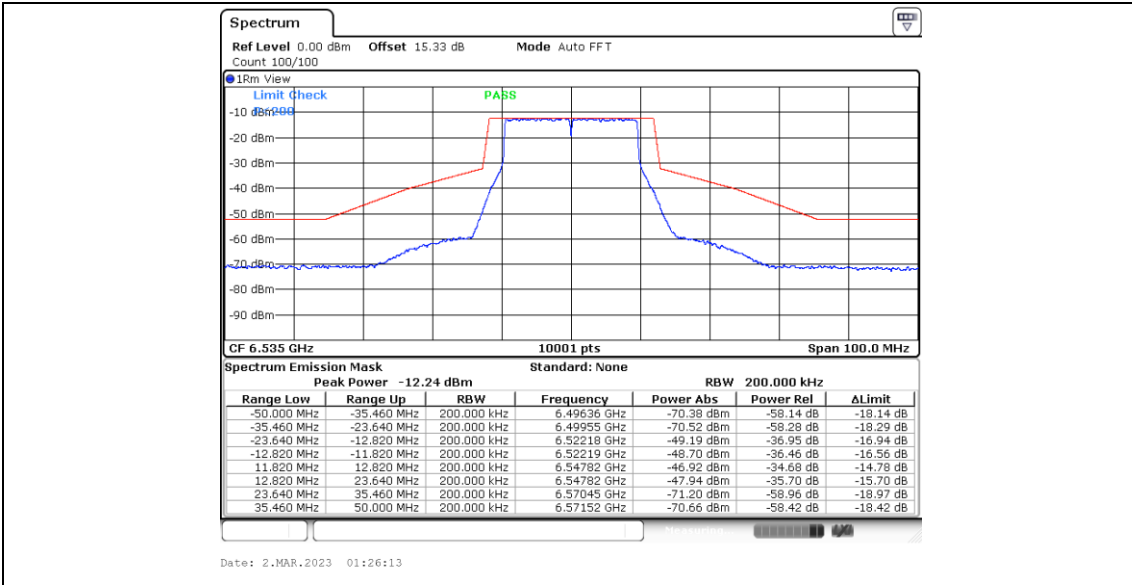
11BE20MIMO_Ant1_6515



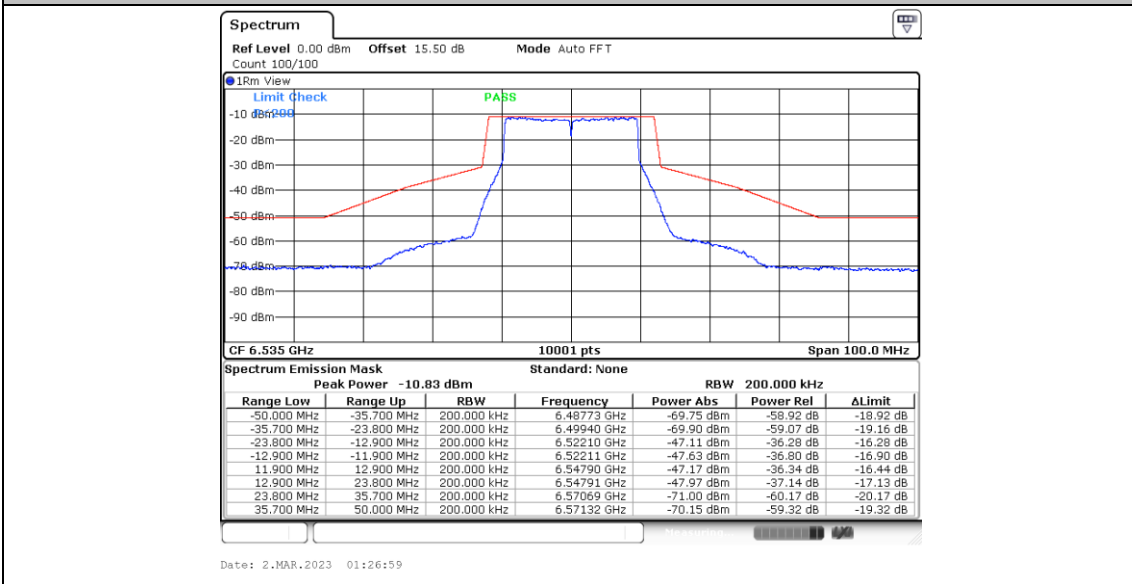
11BE20MIMO_Ant2_6515



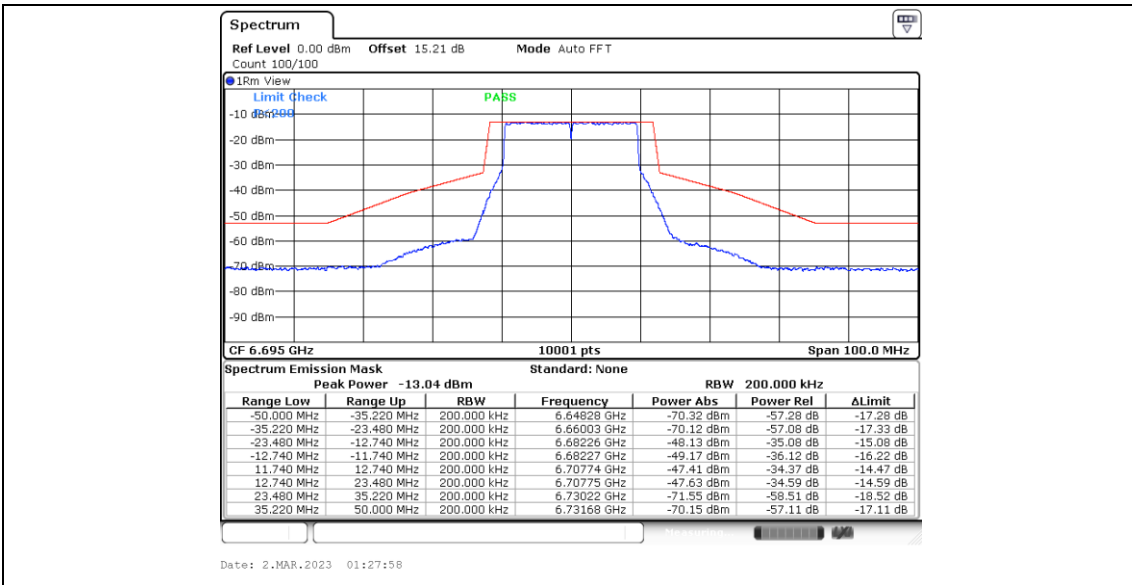
11BE20MIMO_Ant1_6535



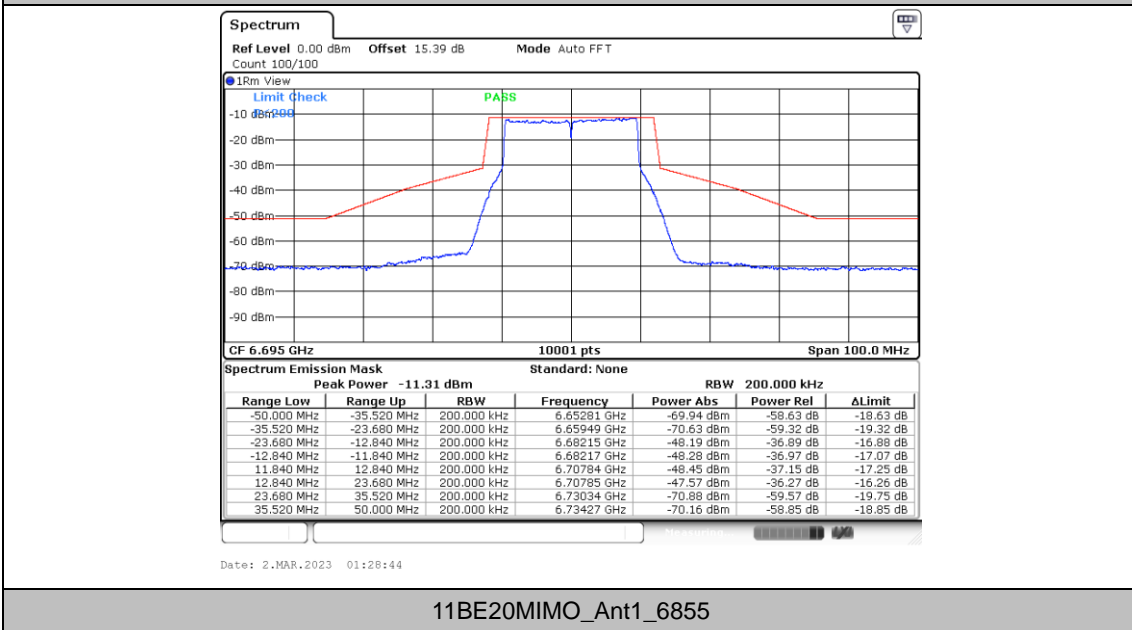
11B20MIMO_Ant2_6535



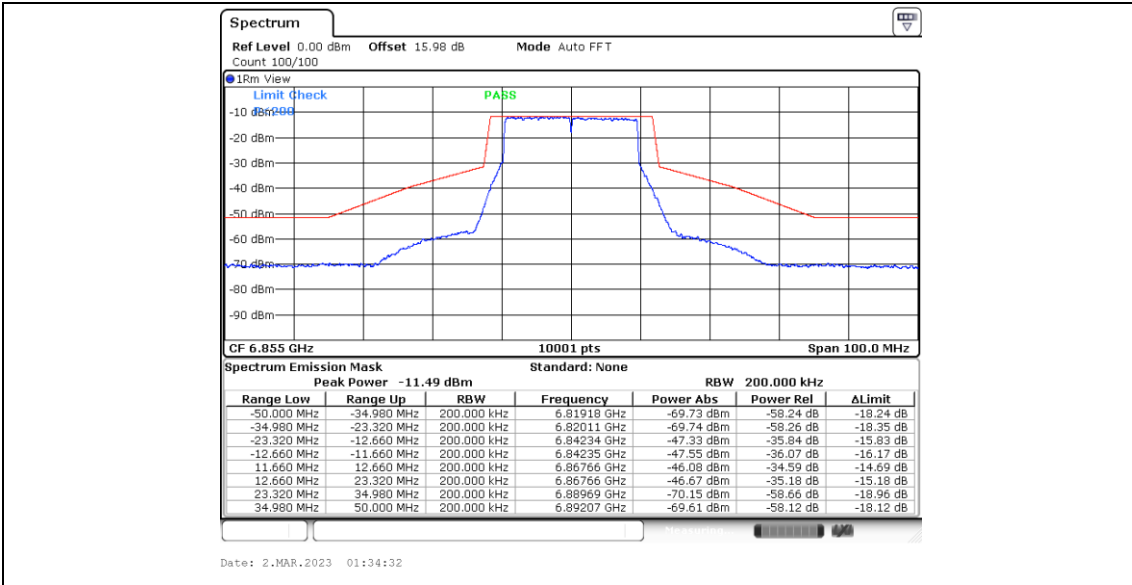
11B20MIMO_Ant1_6695



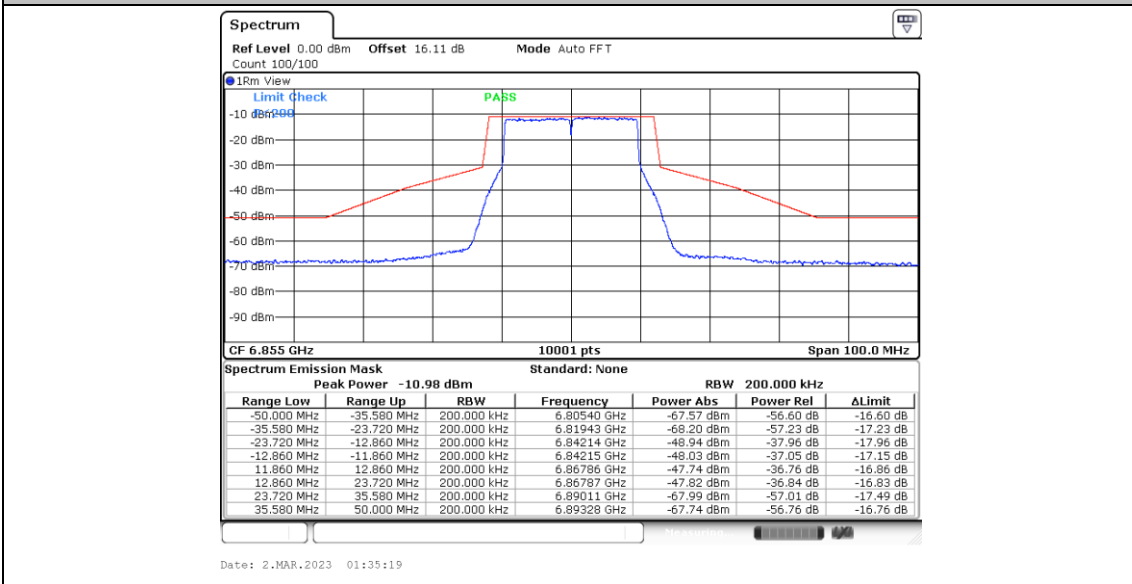
11B20MIMO_Ant2_6695



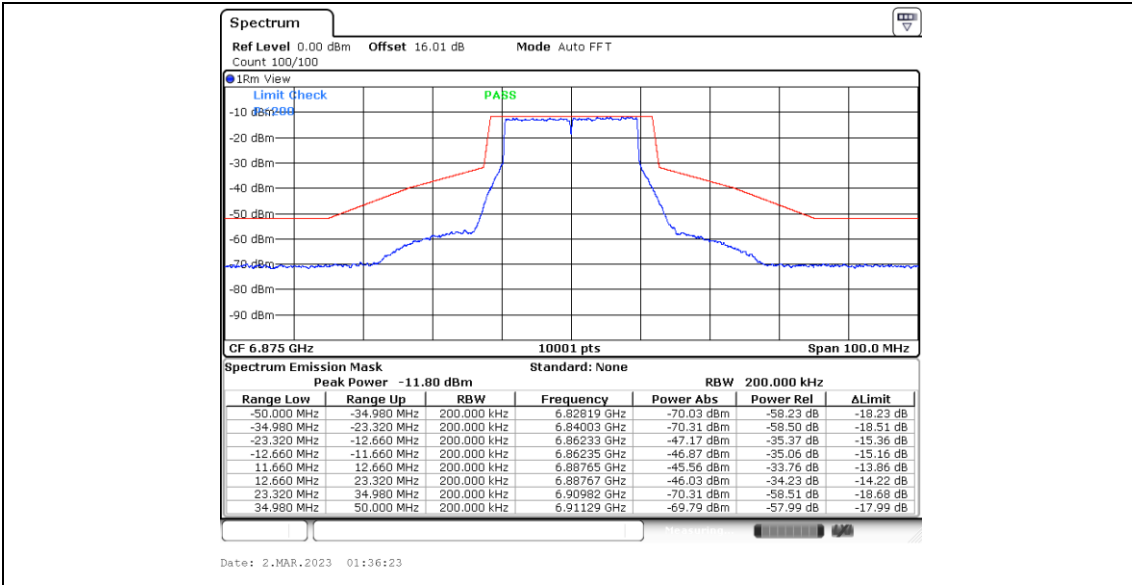
11B20MIMO_Ant1_6855



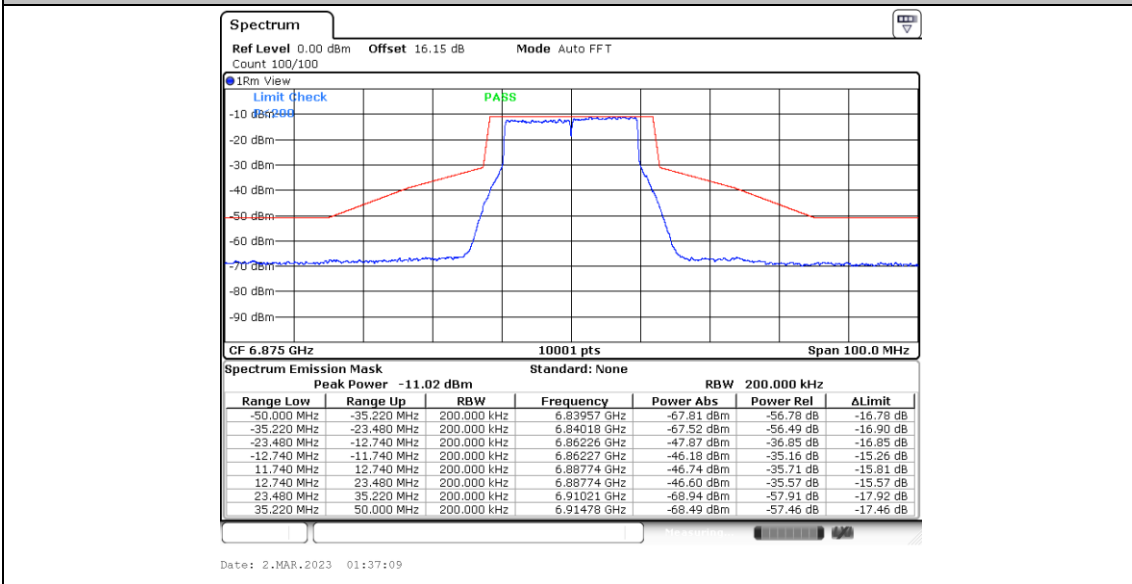
11BE20MIMO_Ant2_6855



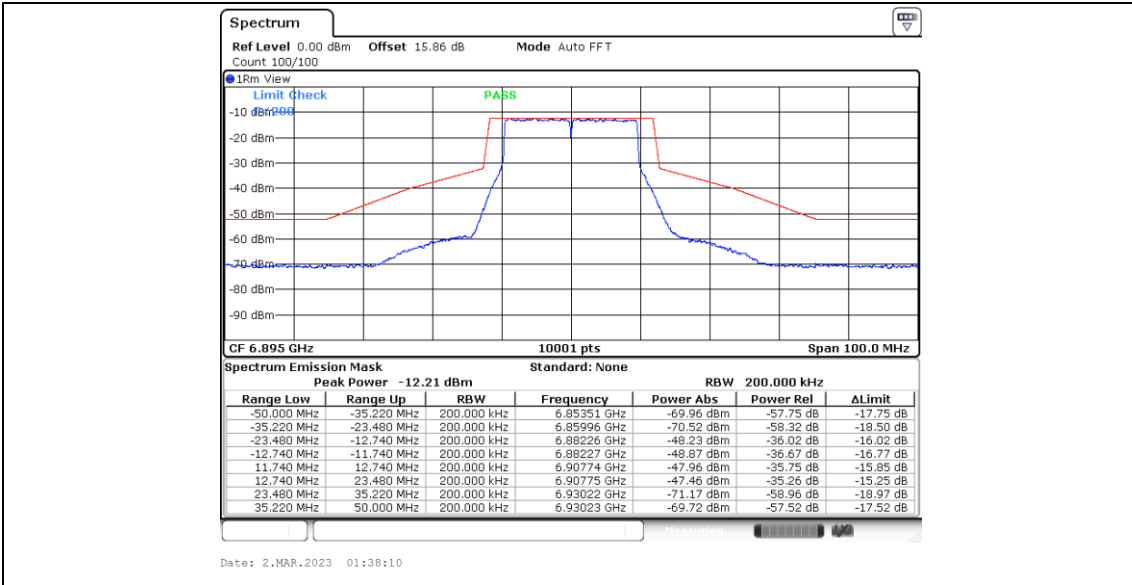
11BE20MIMO_Ant1_6875



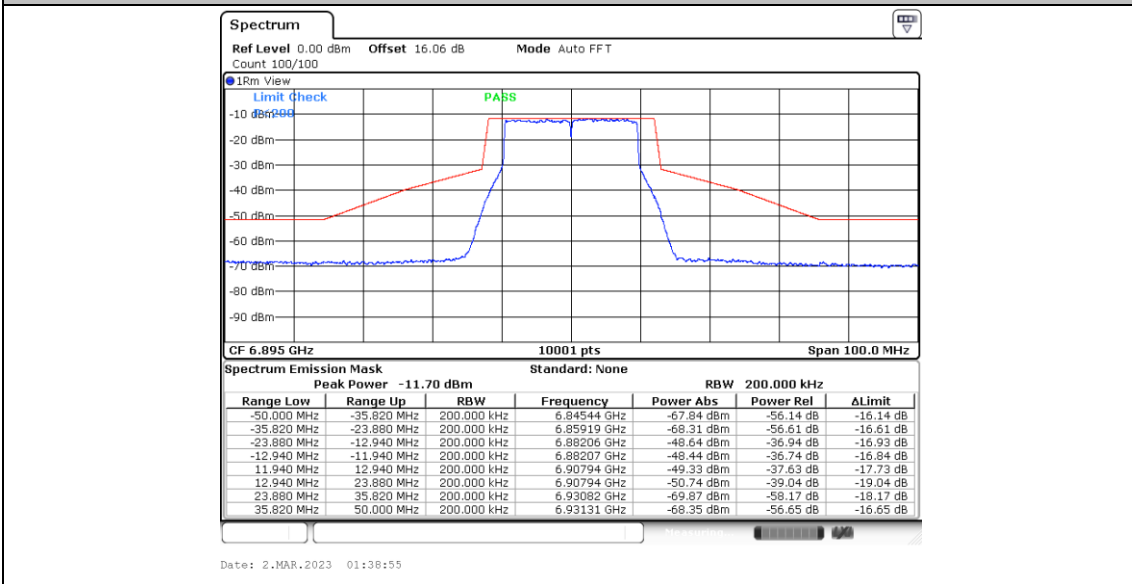
11BE20MIMO_Ant2_6875



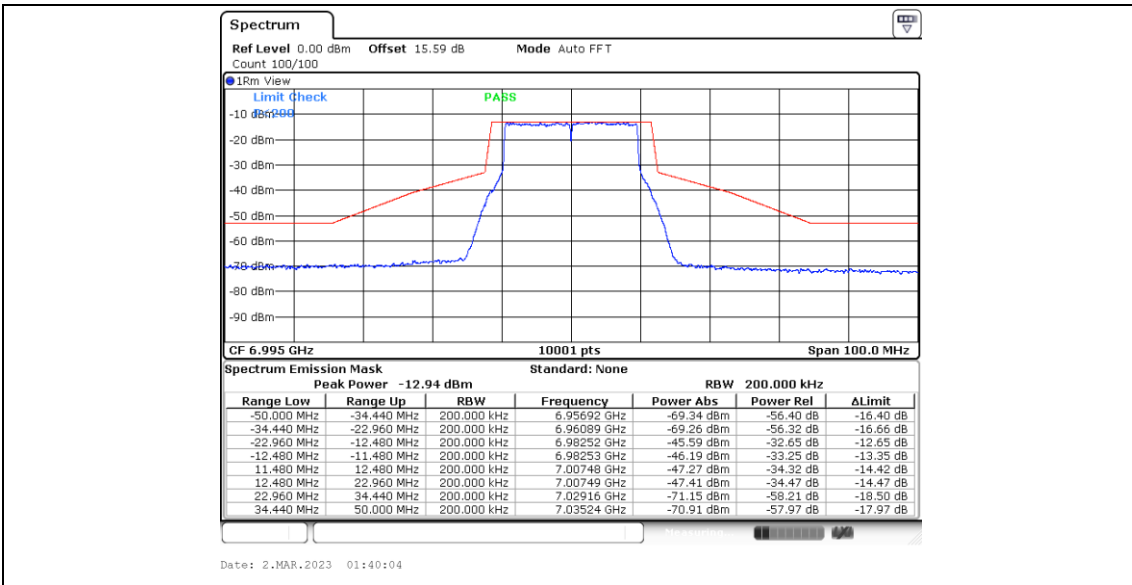
11BE20MIMO_Ant1_6895



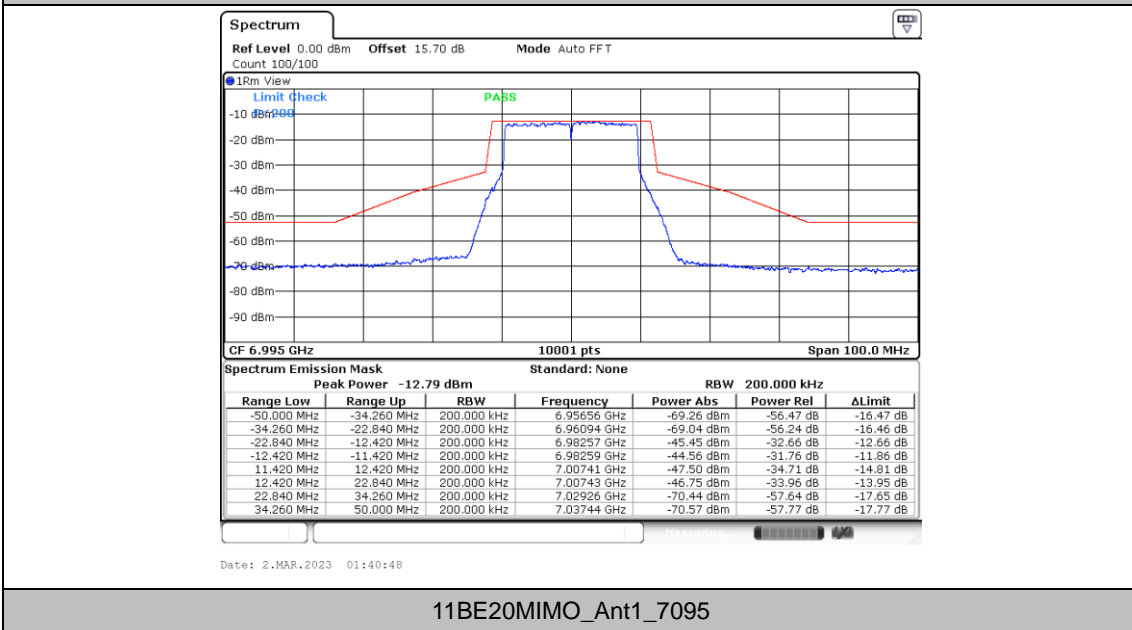
11B20MIMO_Ant2_6895



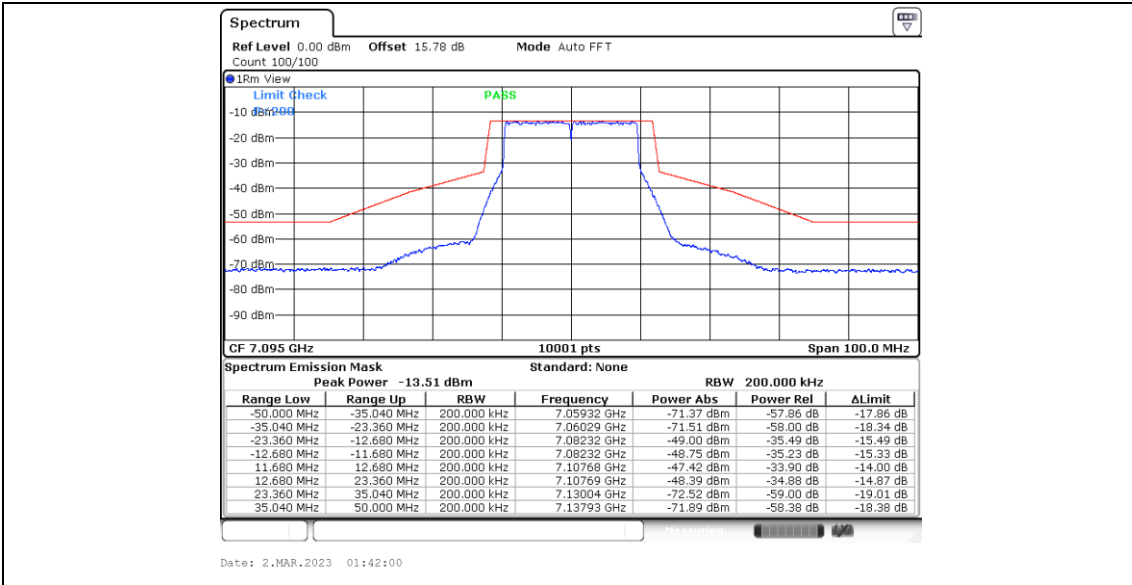
11B20MIMO_Ant1_6895



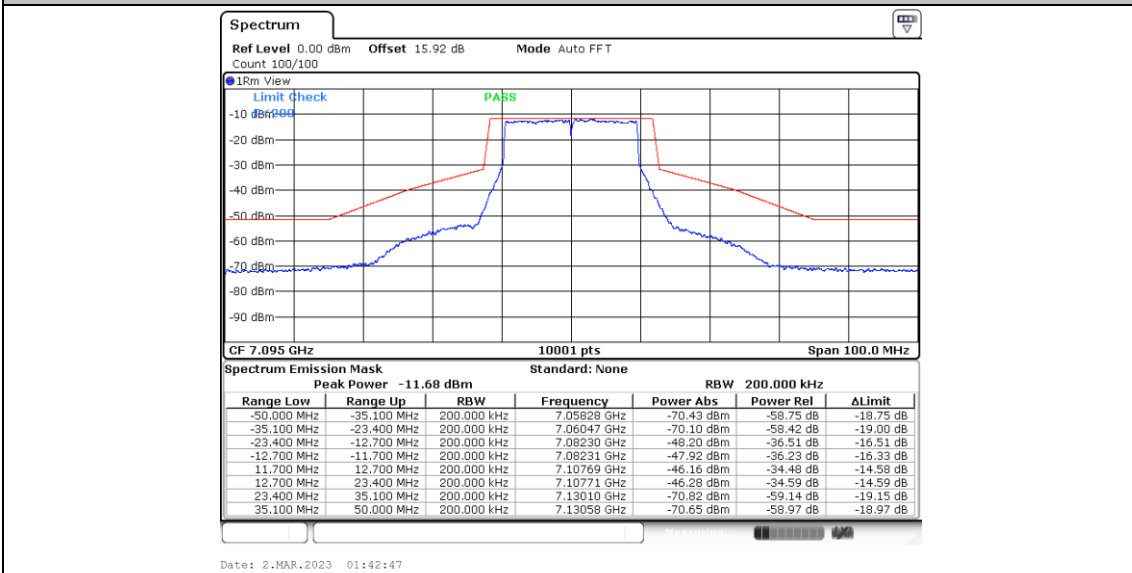
11BE20MIMO_Ant2_6995



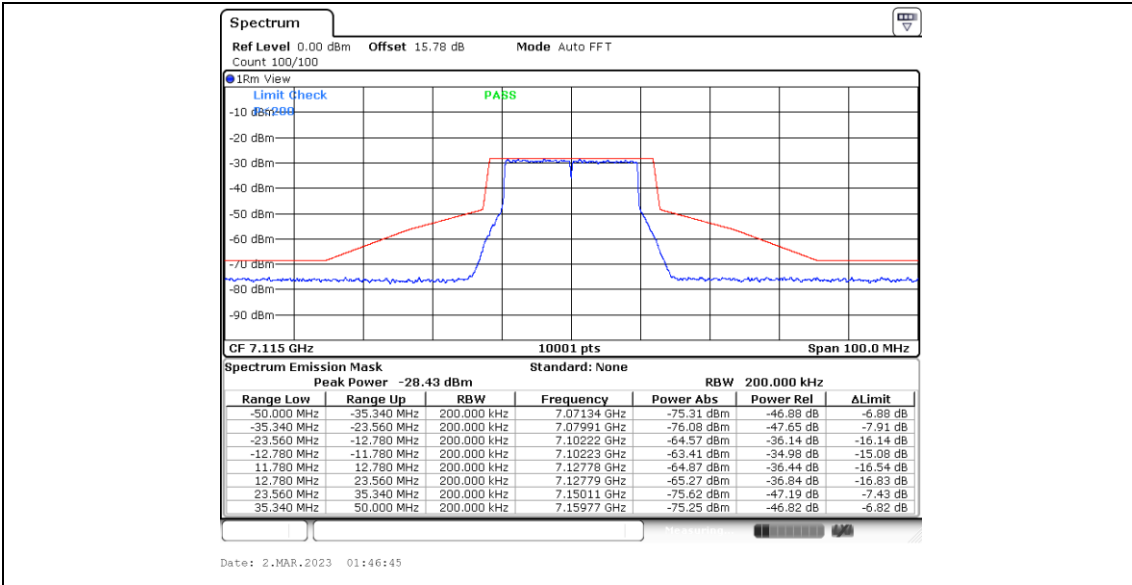
11BE20MIMO_Ant1_7095



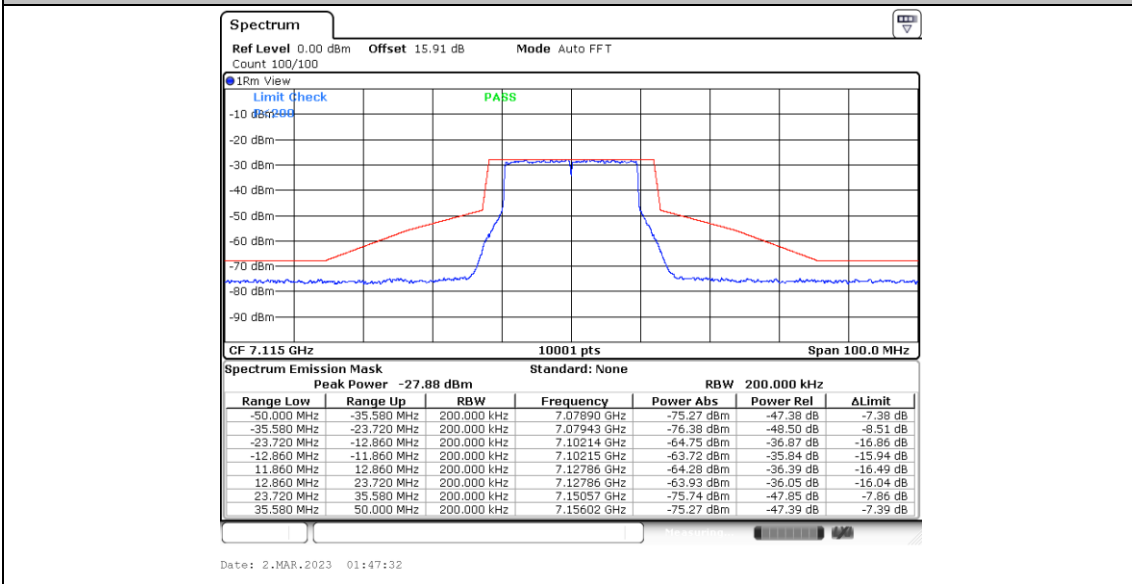
11B20MIMO_Ant2_7095



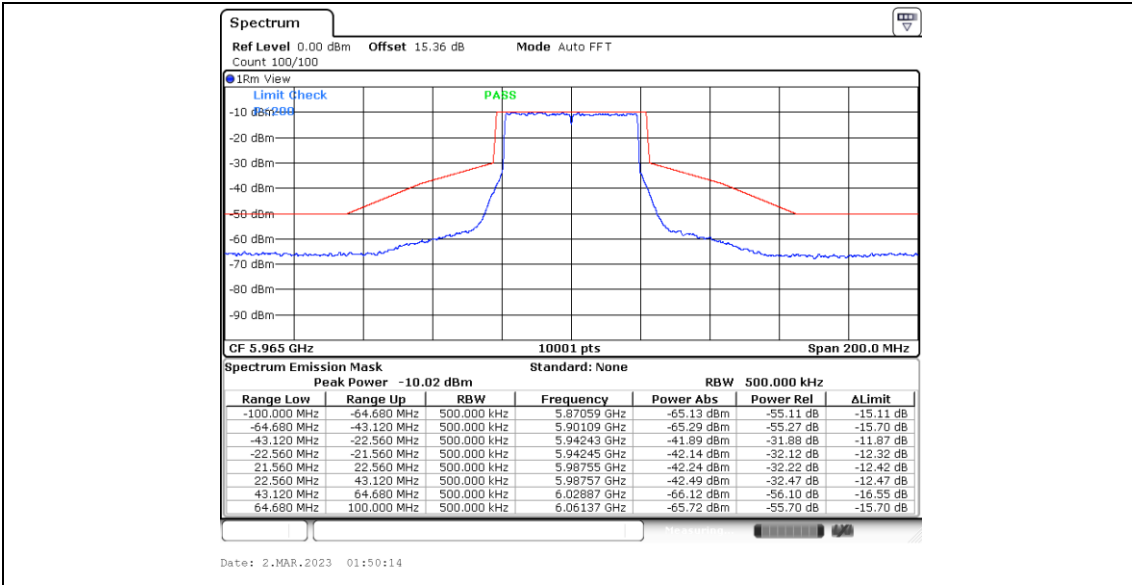
11B20MIMO_Ant1_7115



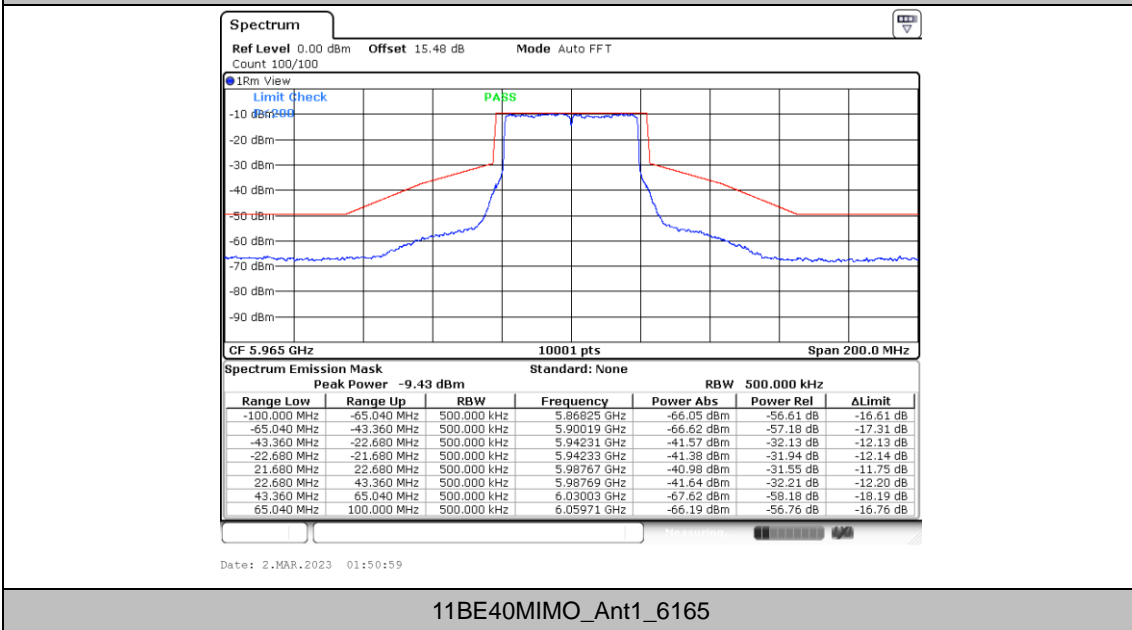
11BE20MIMO_Ant2_7115



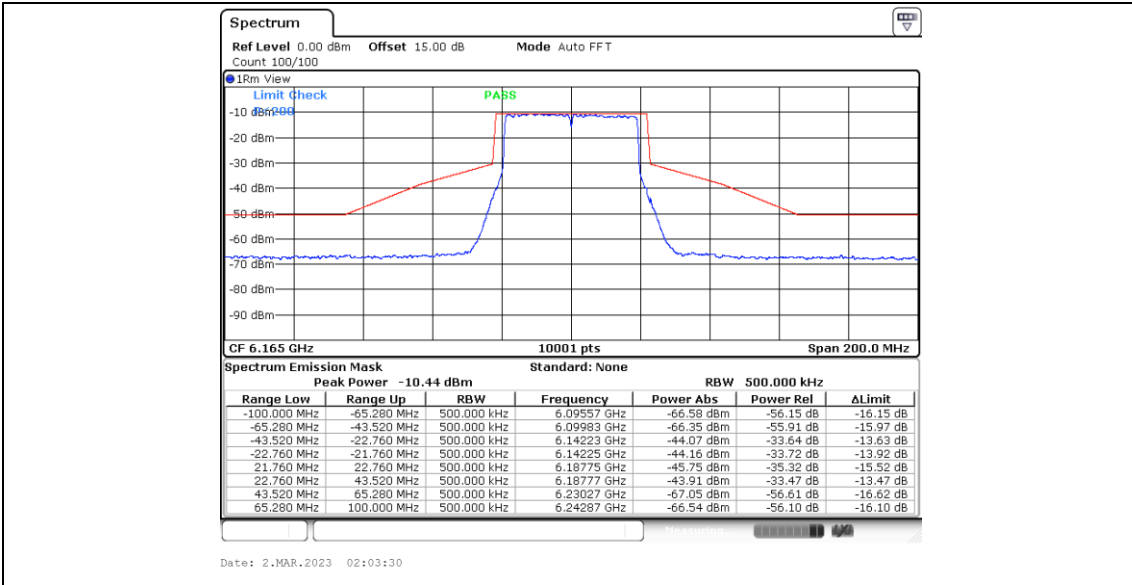
11BE40MIMO_Ant1_5965



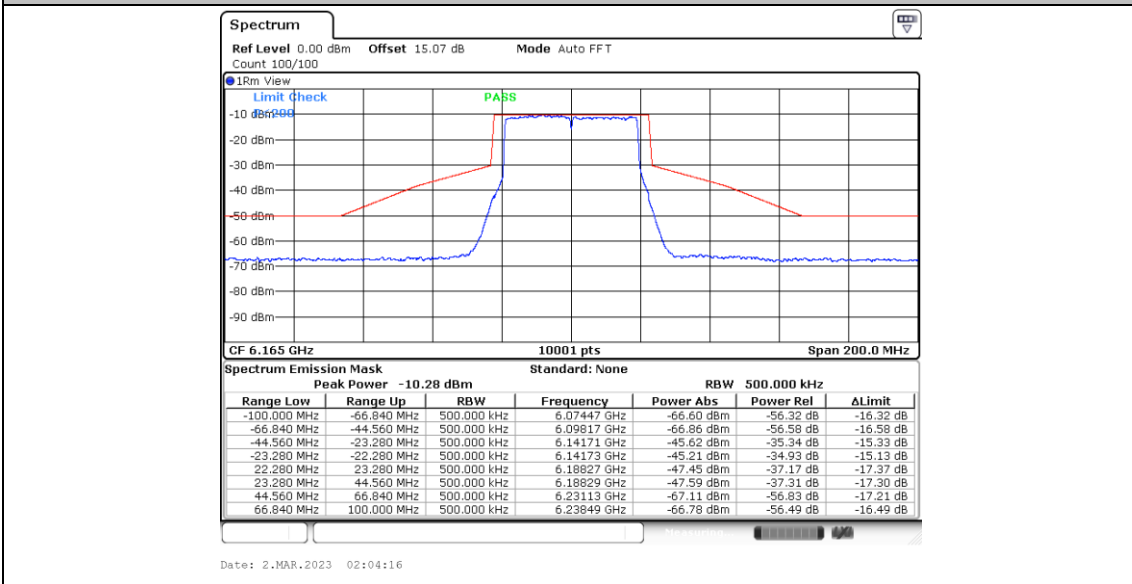
11BE40MIMO_Ant2_5965



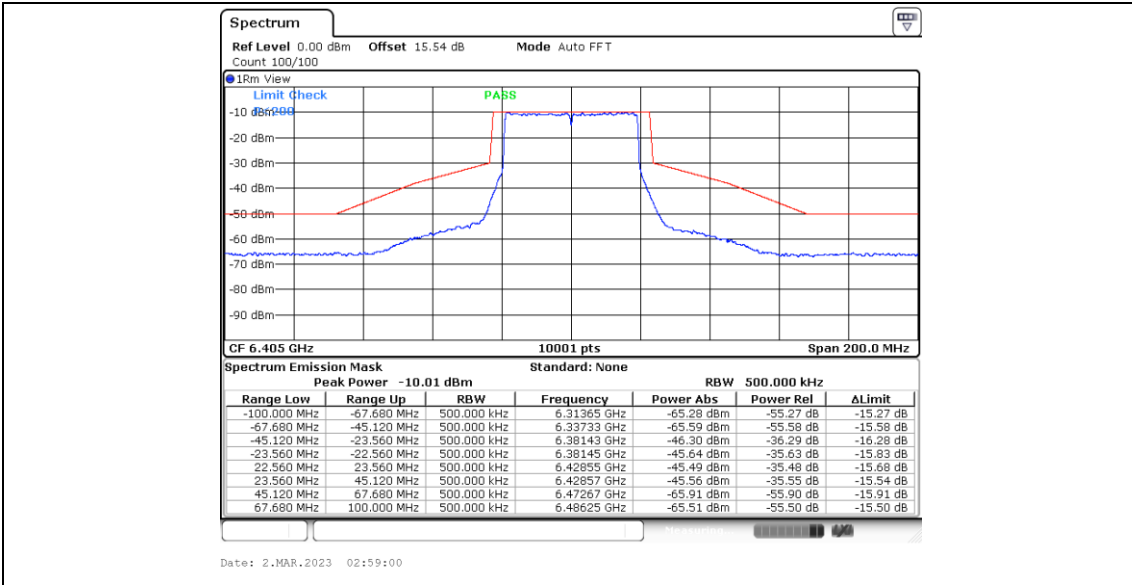
11BE40MIMO_Ant1_6165



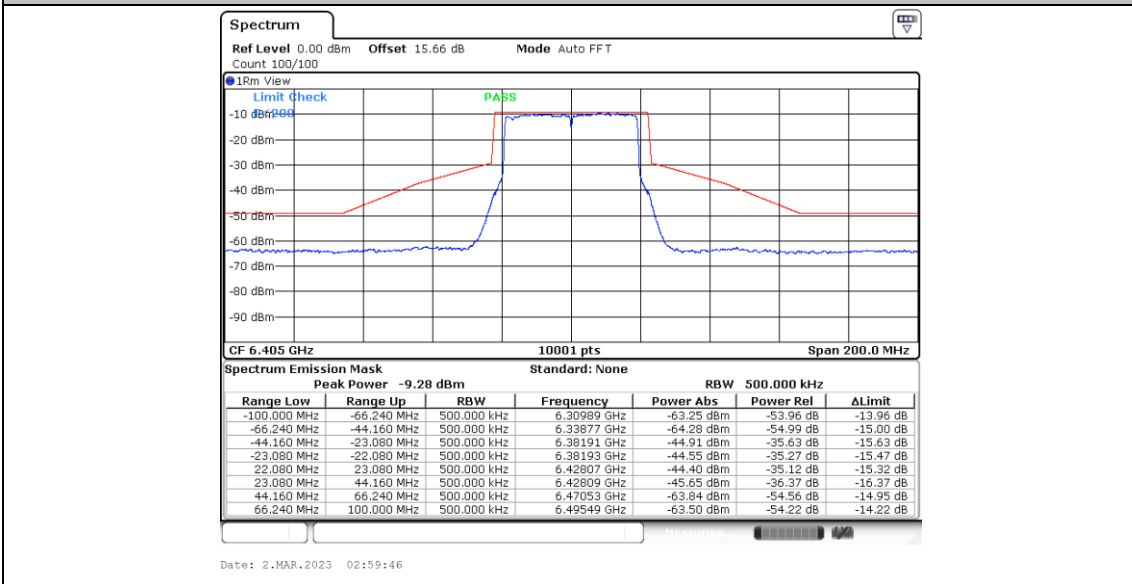
11BE40MIMO_Ant2_6165



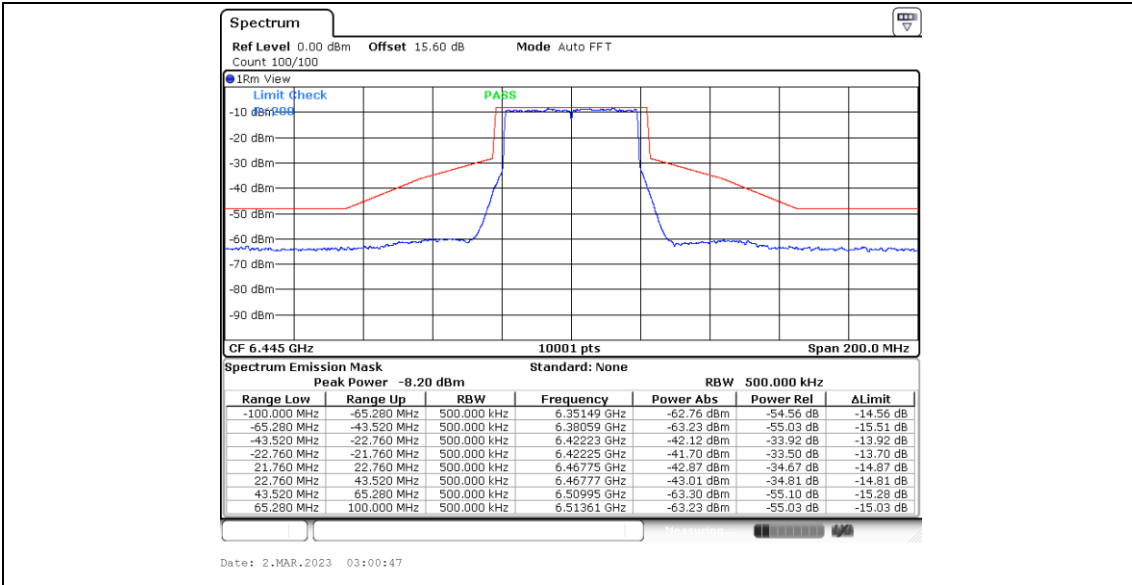
11BE40MIMO_Ant1_6405



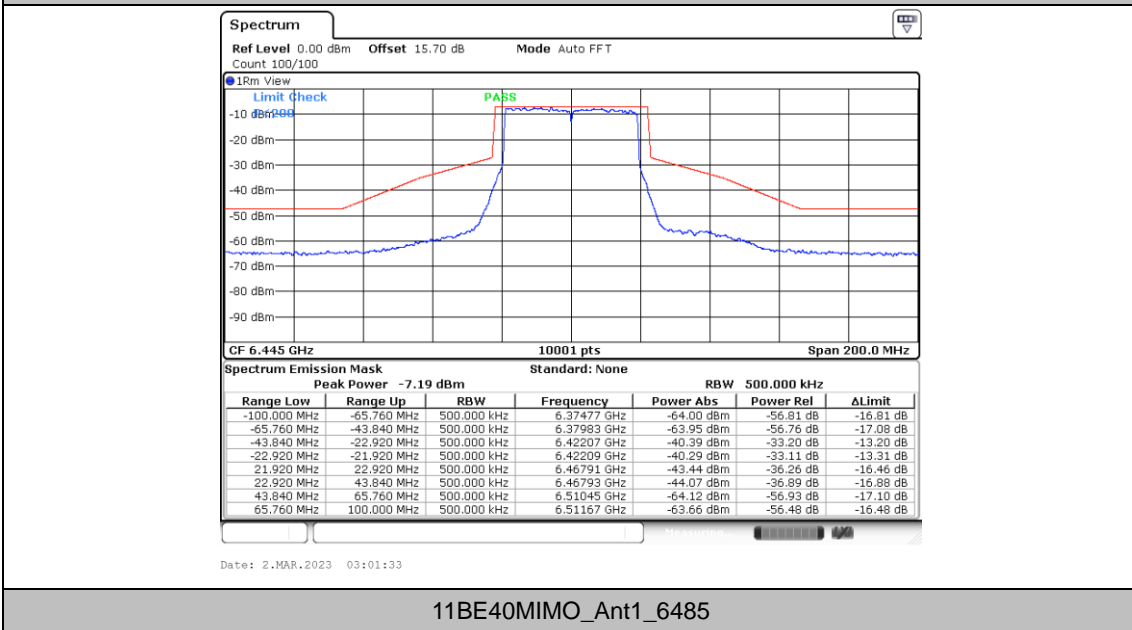
11BE40MIMO_Ant2_6405



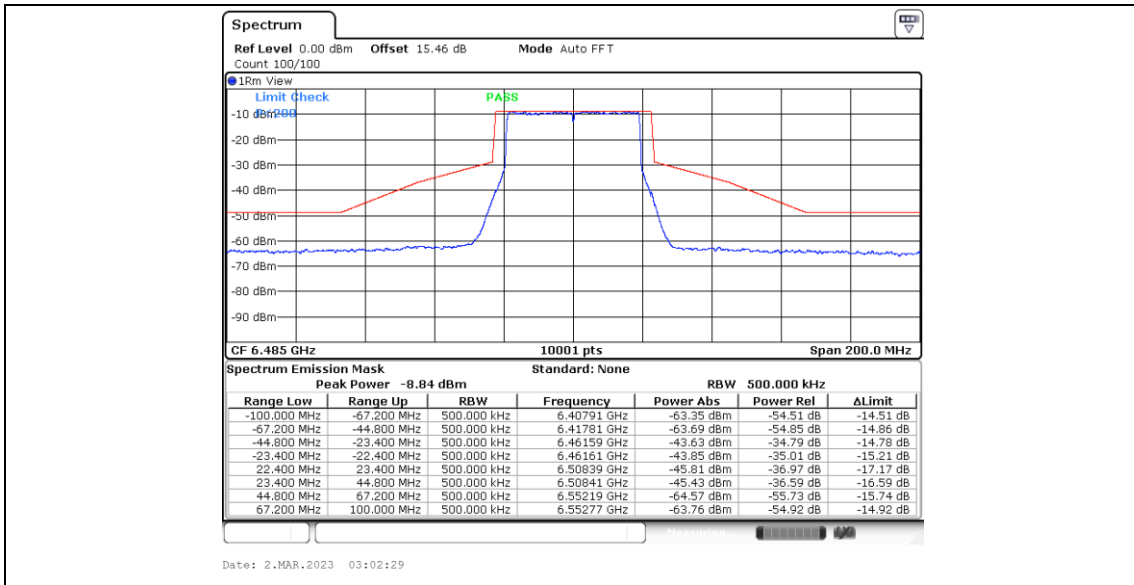
11BE40MIMO_Ant1_6445



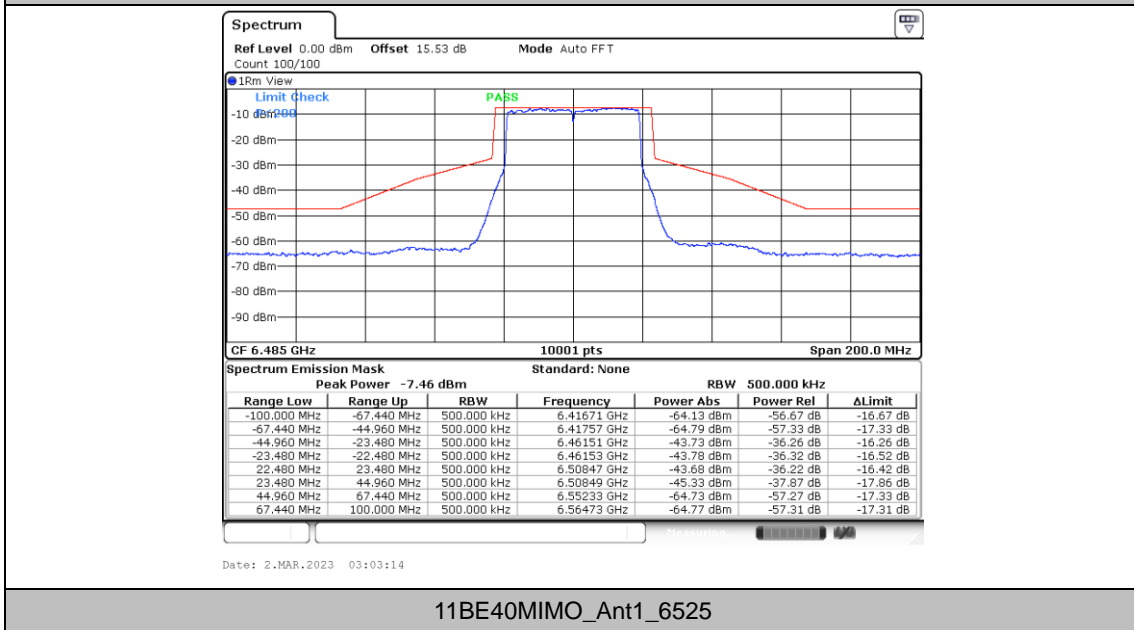
11BE40MIMO_Ant2_6445



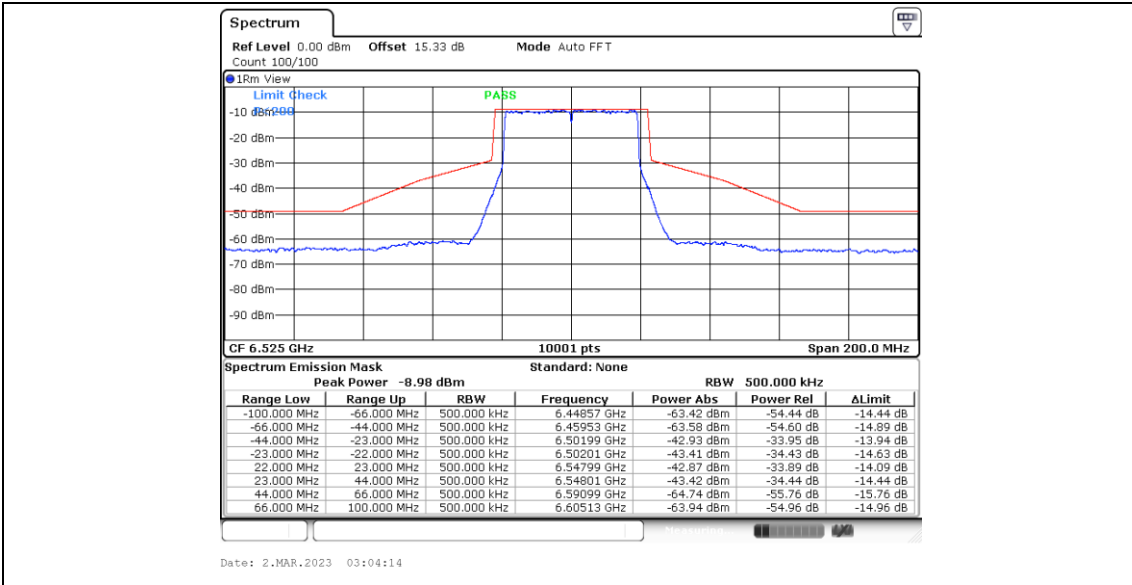
11BE40MIMO_Ant1_6485



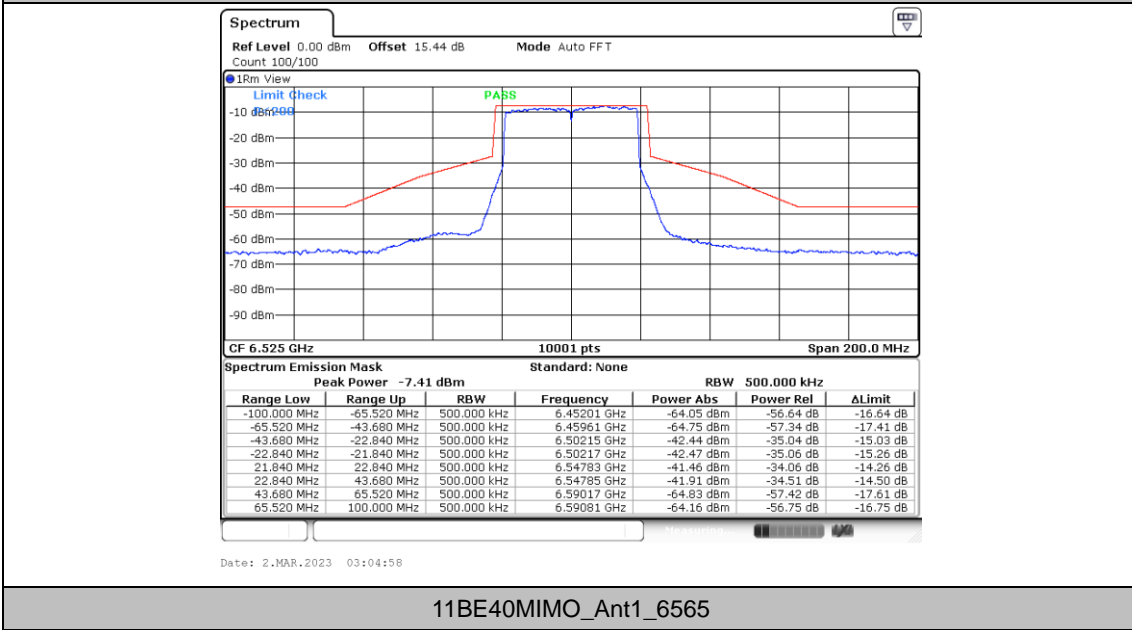
11BE40MIMO_Ant2_6485



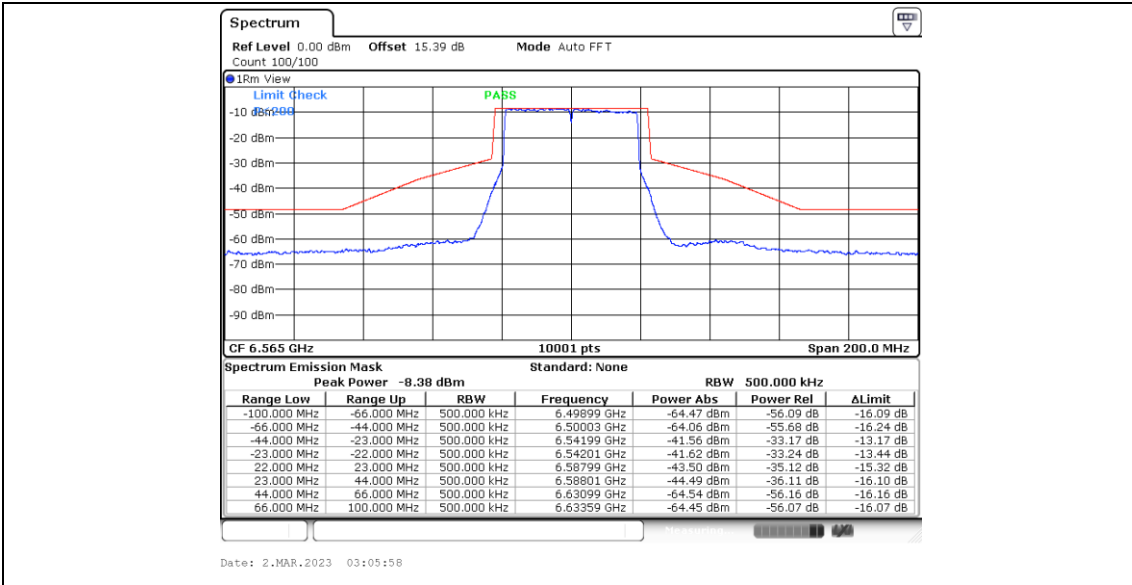
11BE40MIMO_Ant1_6525



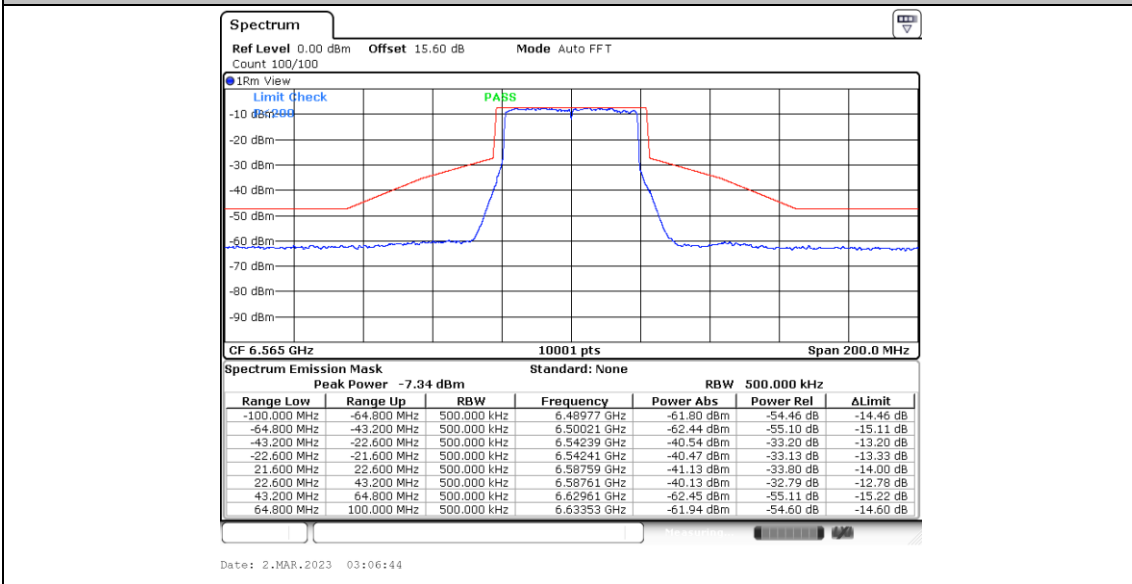
11BE40MIMO_Ant2_6525



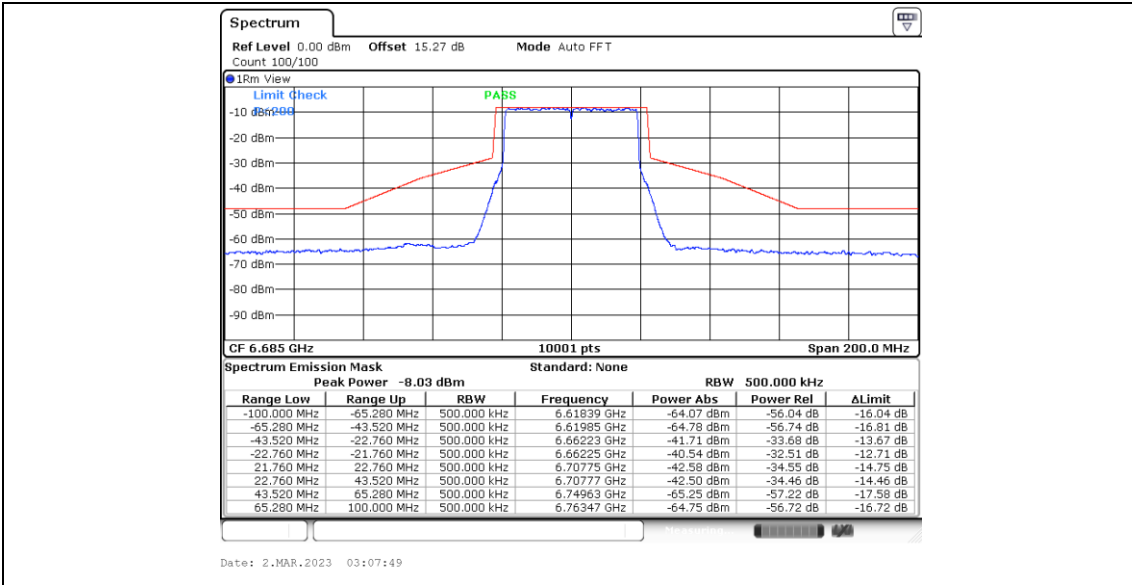
11BE40MIMO_Ant1_6565



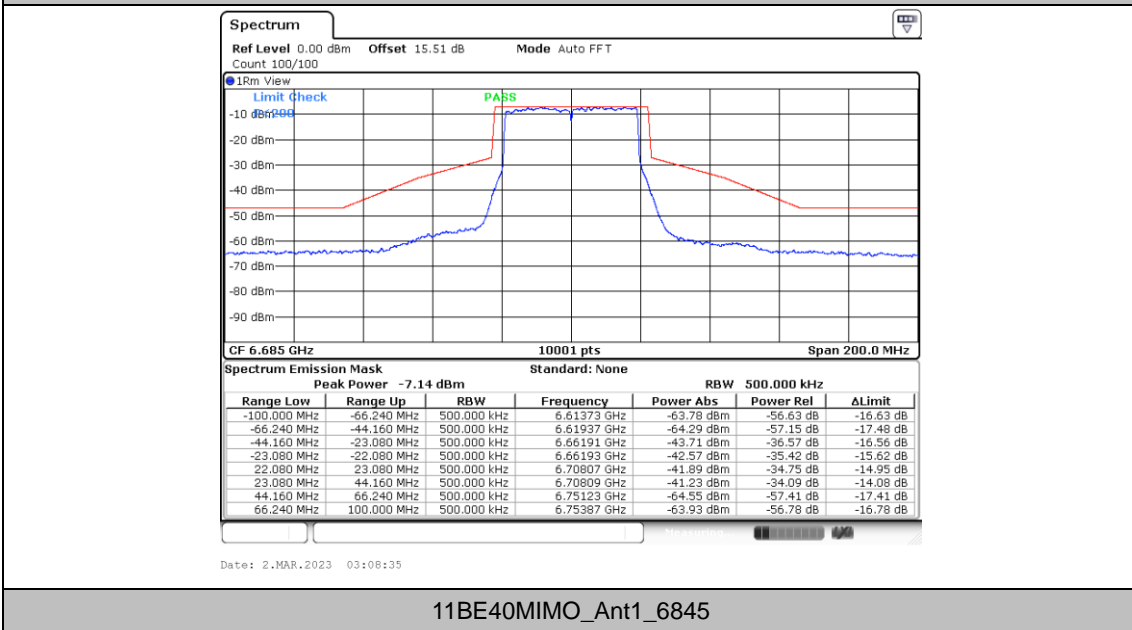
11BE40MIMO_Ant2_6565



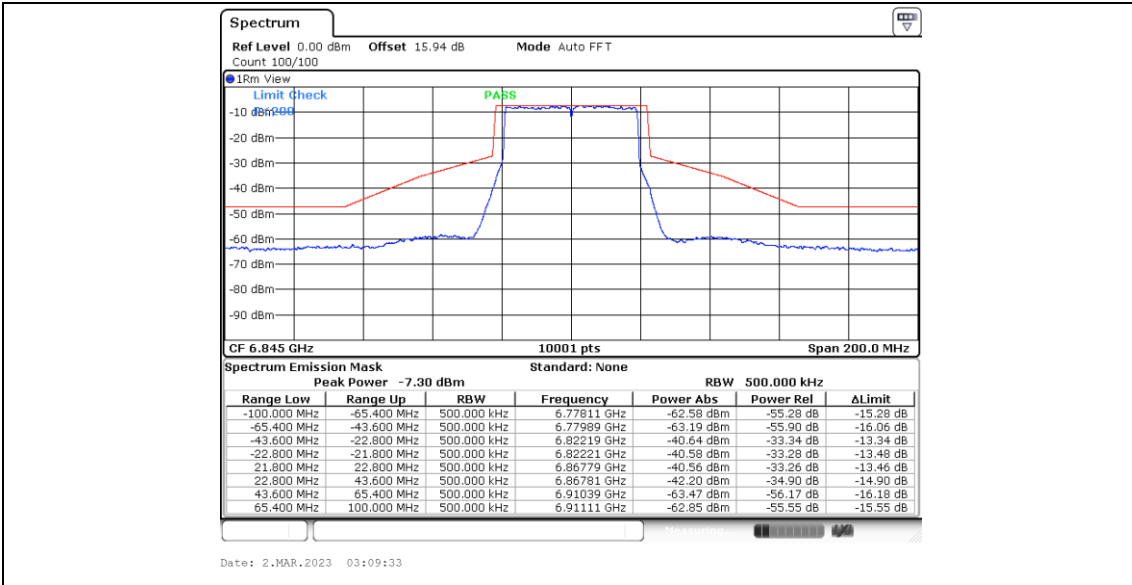
11BE40MIMO_Ant1_6685



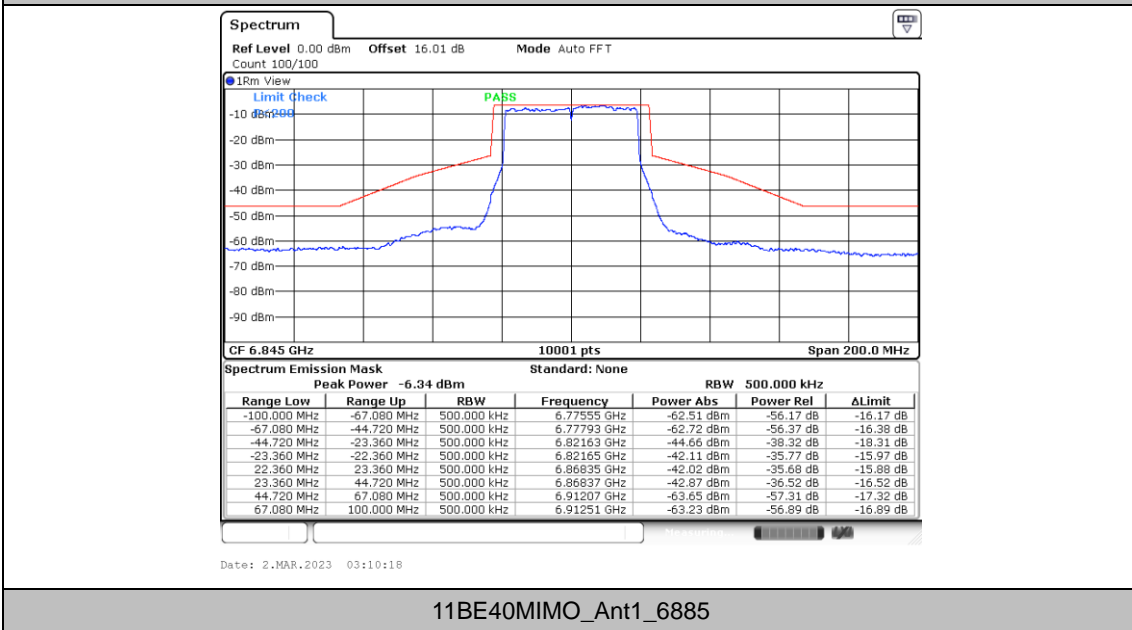
11BE40MIMO_Ant2_6685



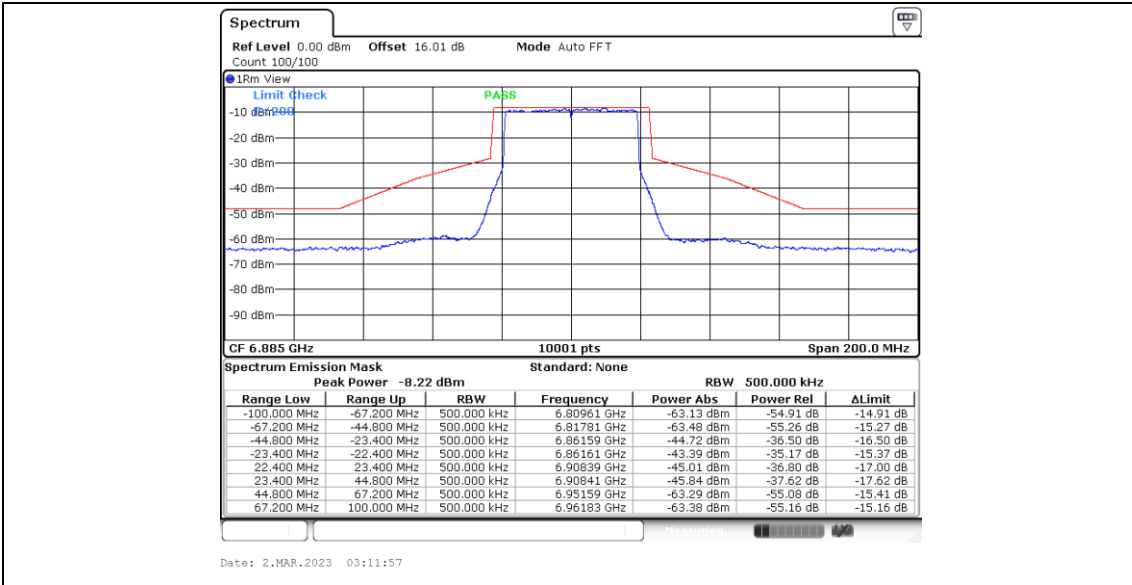
11BE40MIMO_Ant1_6845



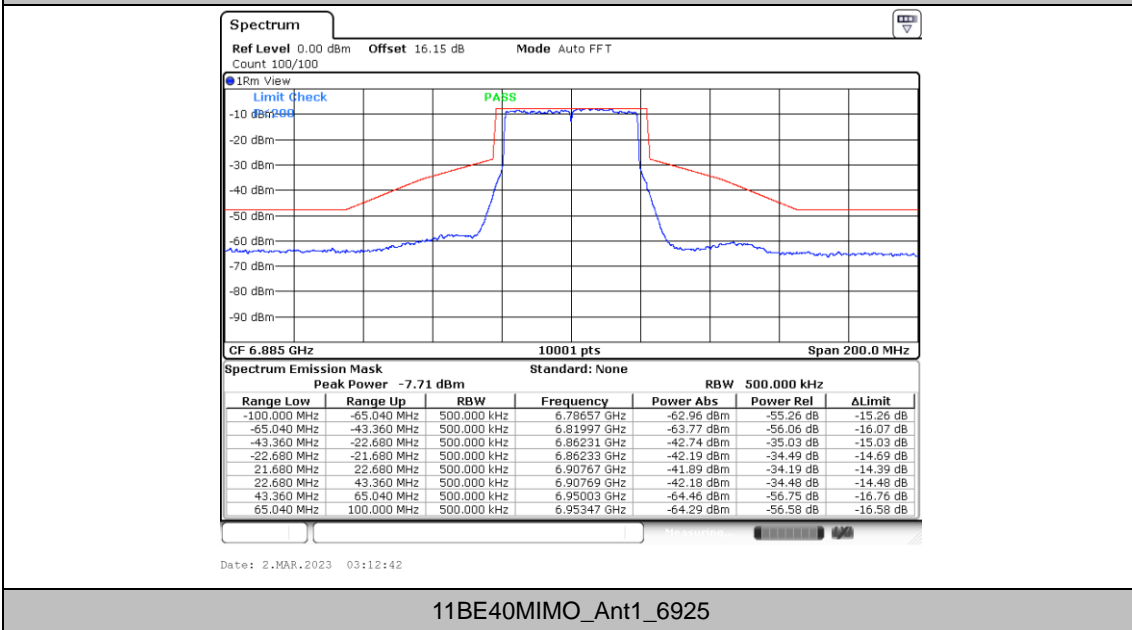
11BE40MIMO_Ant2_6845



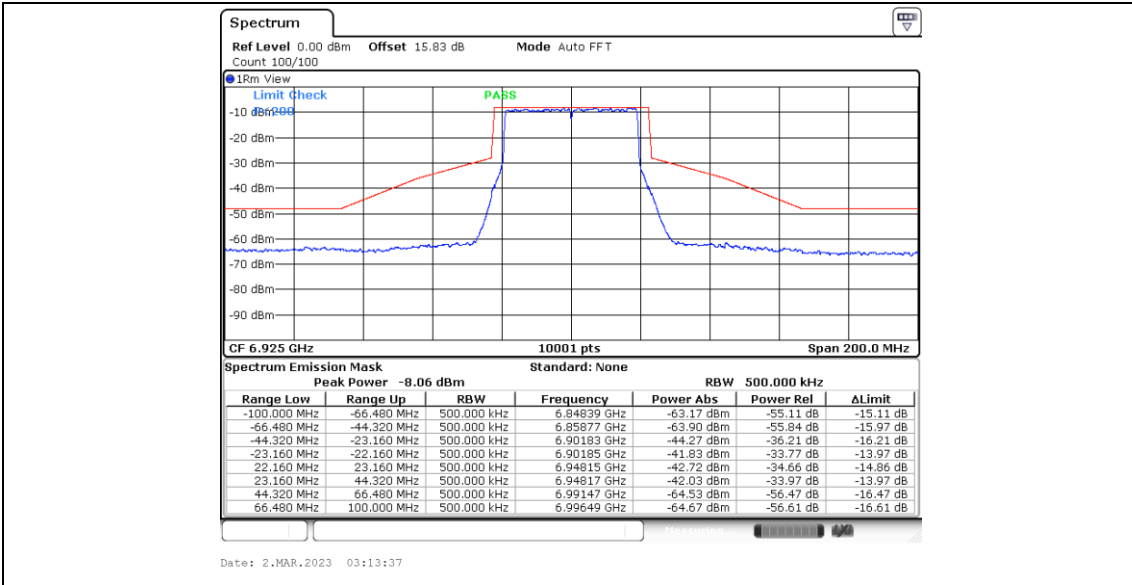
11BE40MIMO_Ant1_6885



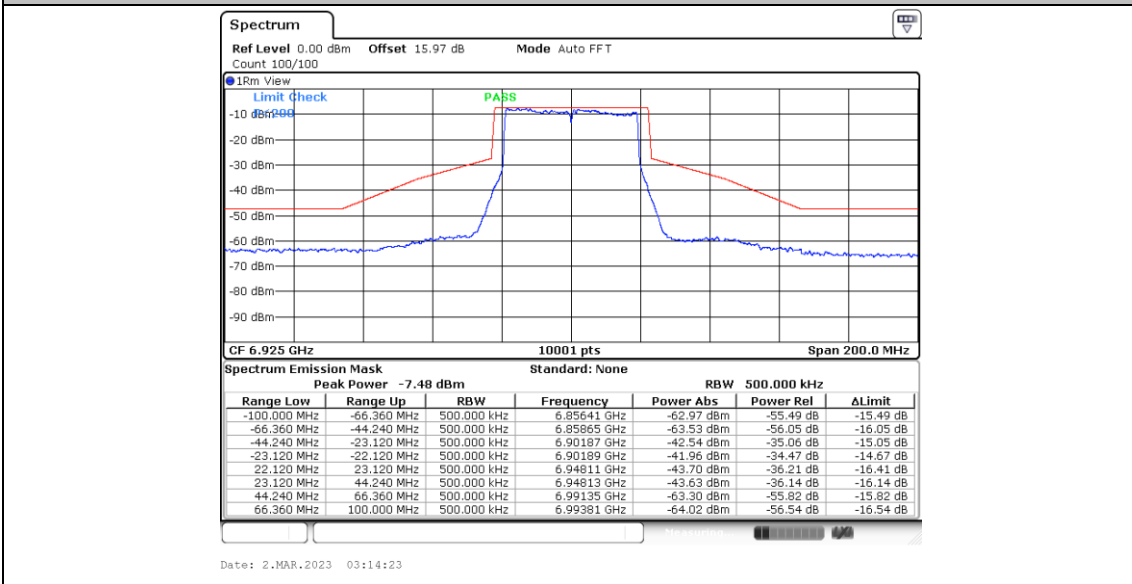
11BE40MIMO_Ant2_6885



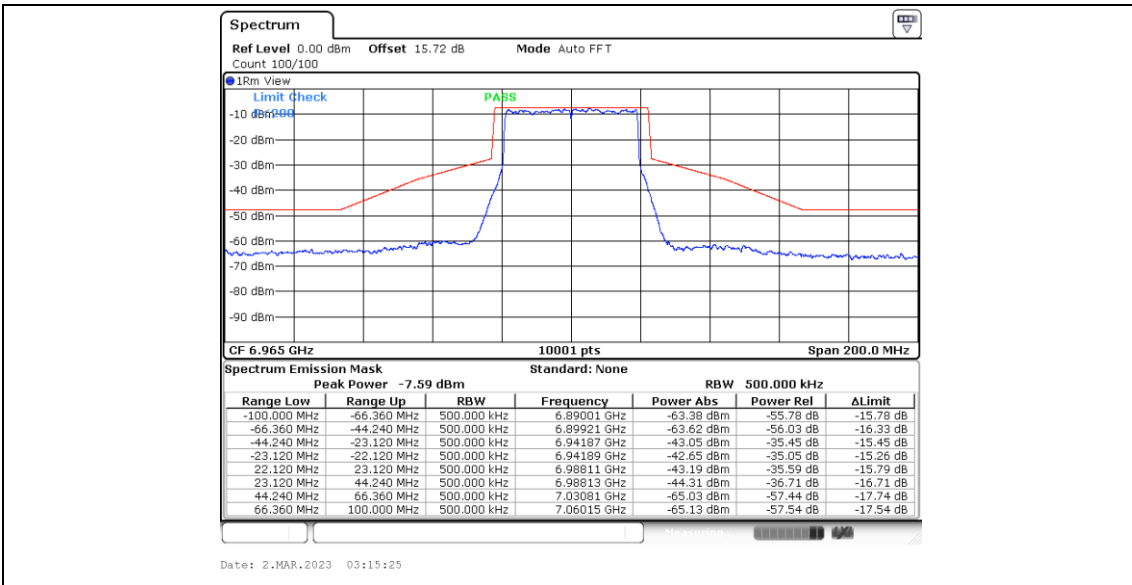
11BE40MIMO_Ant1_6925



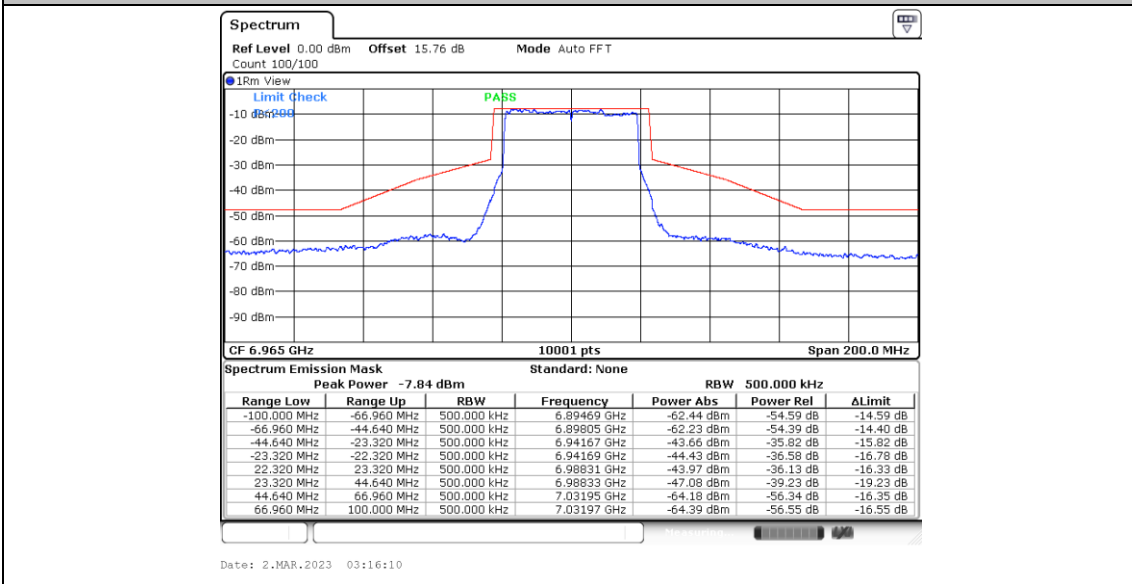
11BE40MIMO_Ant2_6925



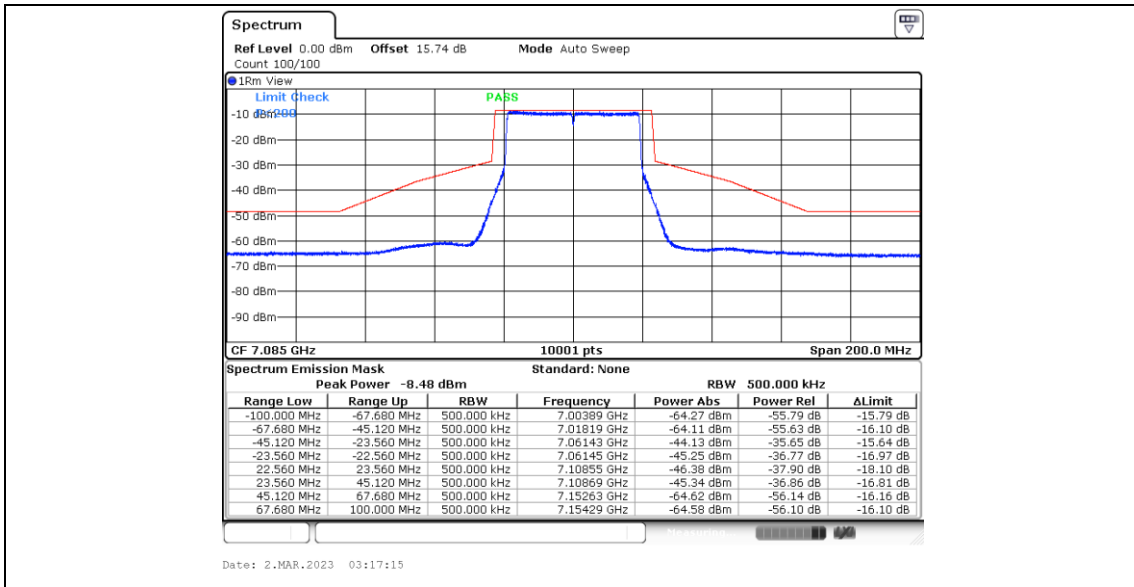
11BE40MIMO_Ant1_6965



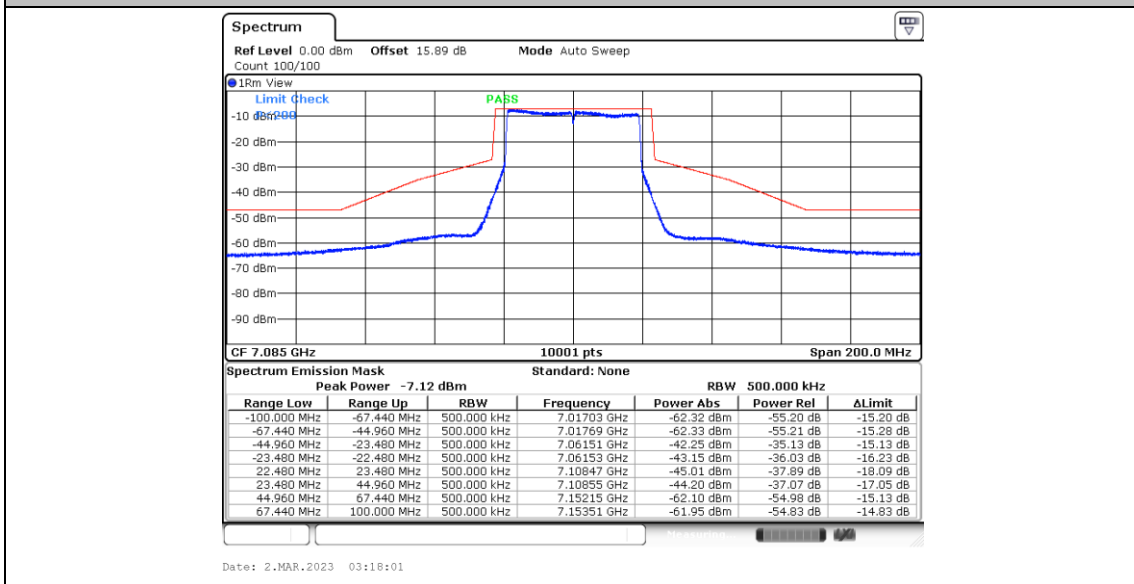
11BE40MIMO_Ant2_6965



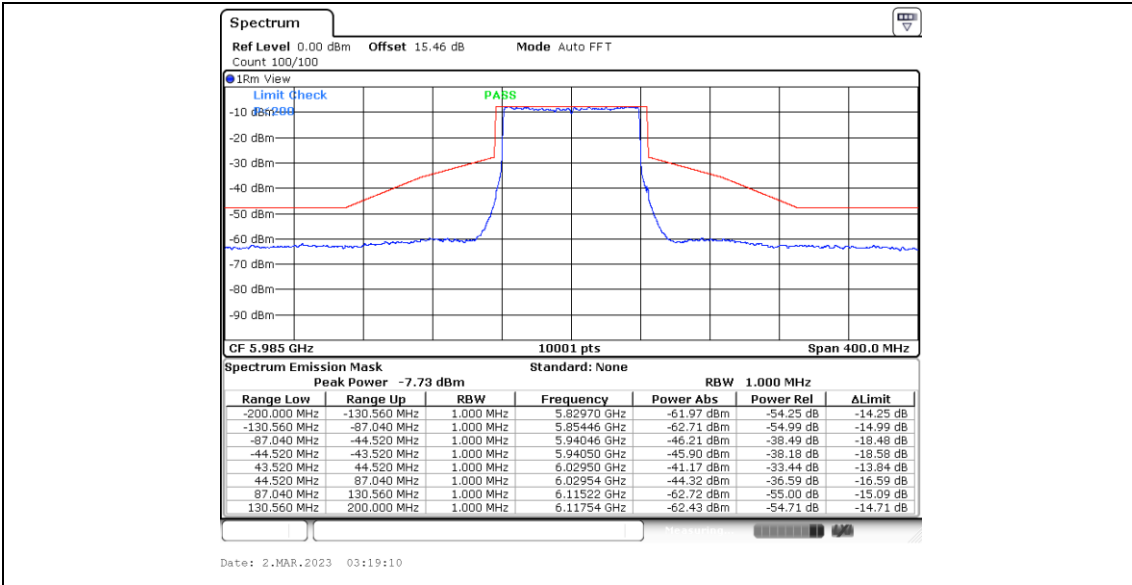
11BE40MIMO_Ant1_7085



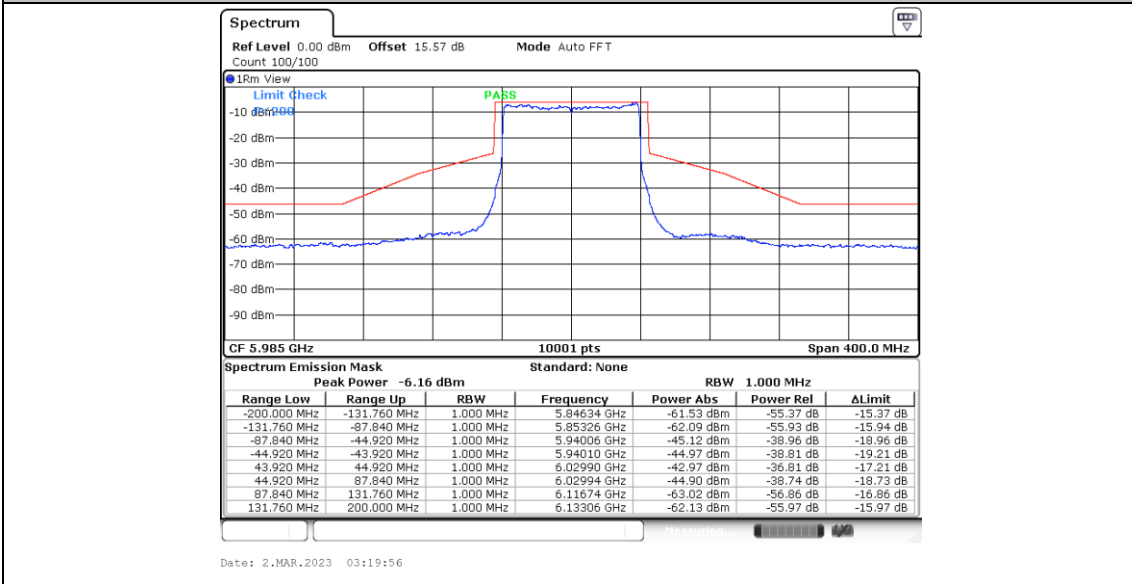
11BE40MIMO_Ant2_7085



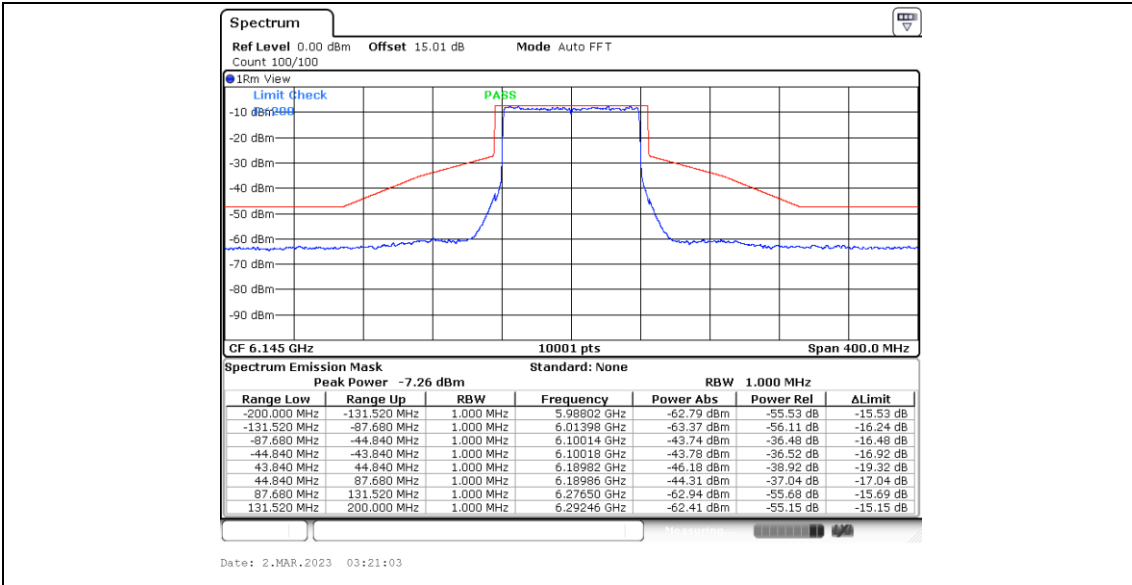
11BE80MIMO_Ant1_5985



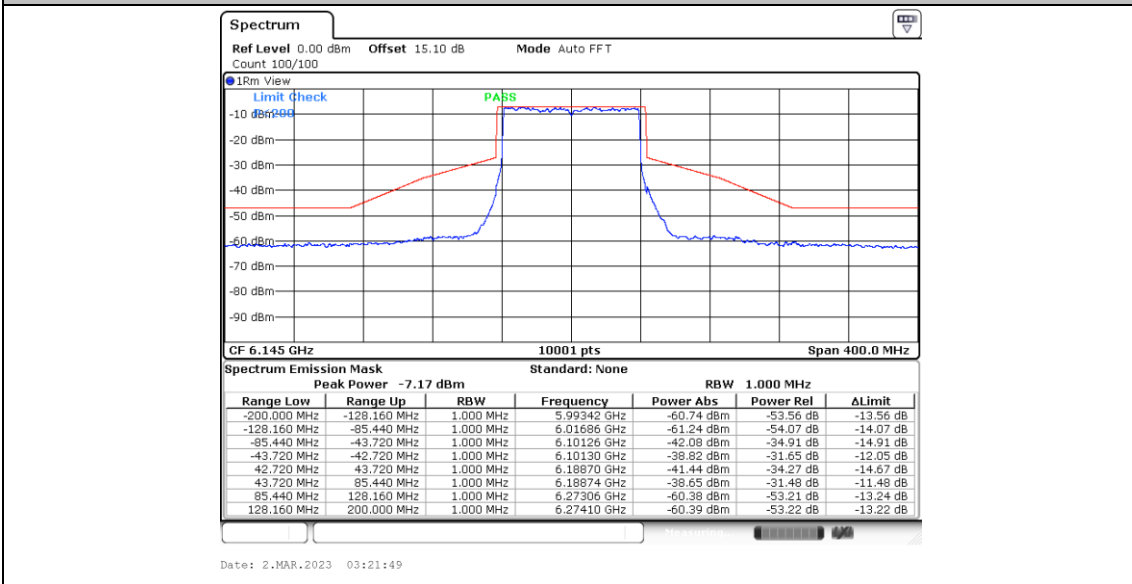
11BE80MIMO_Ant2_5985



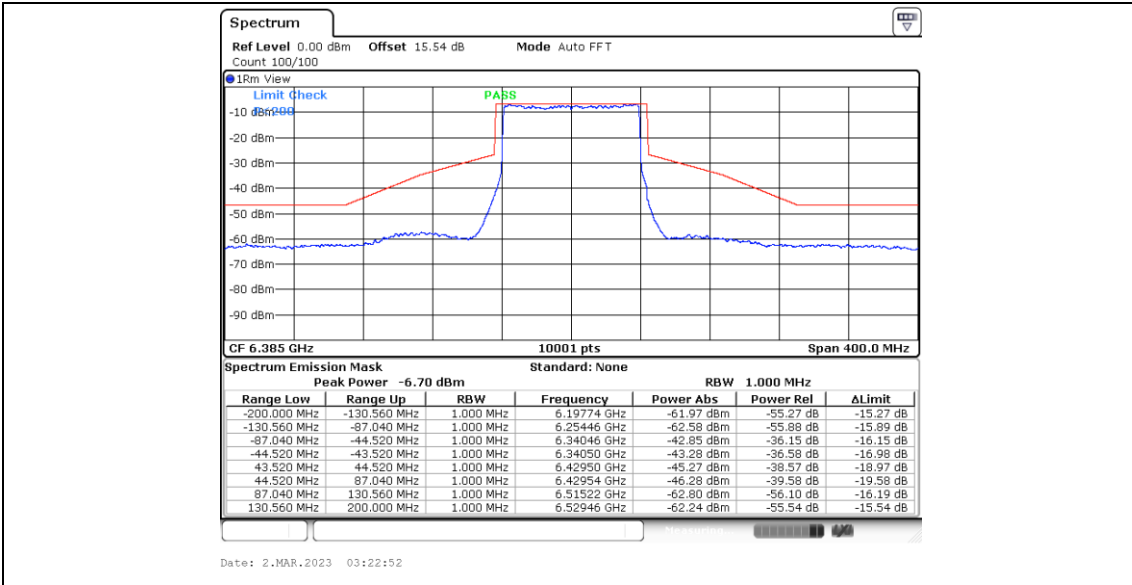
11BE80MIMO_Ant1_6145



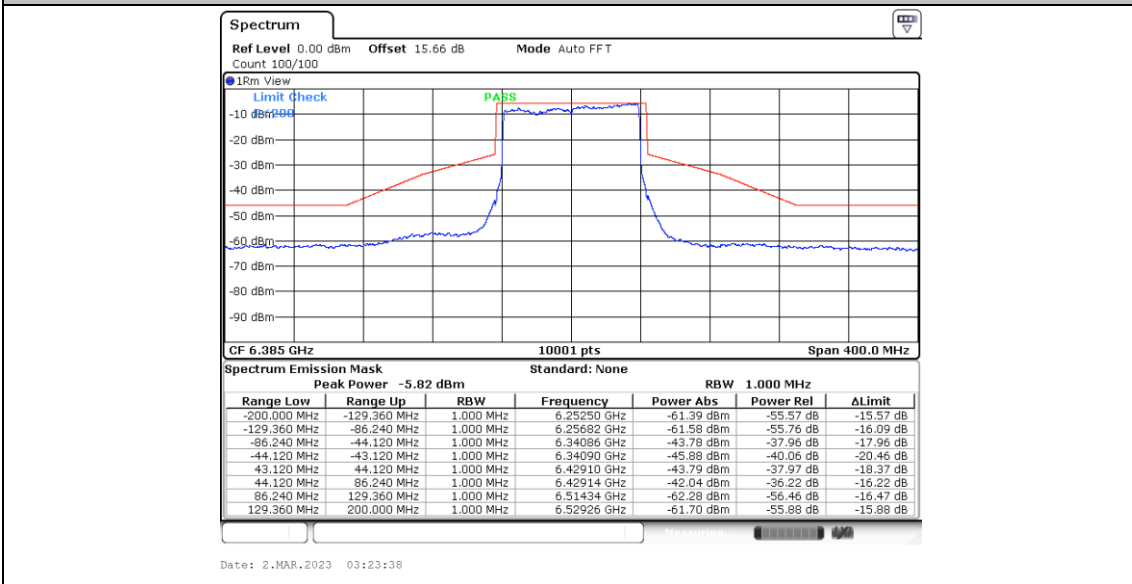
11BE80MIMO_Ant2_6145



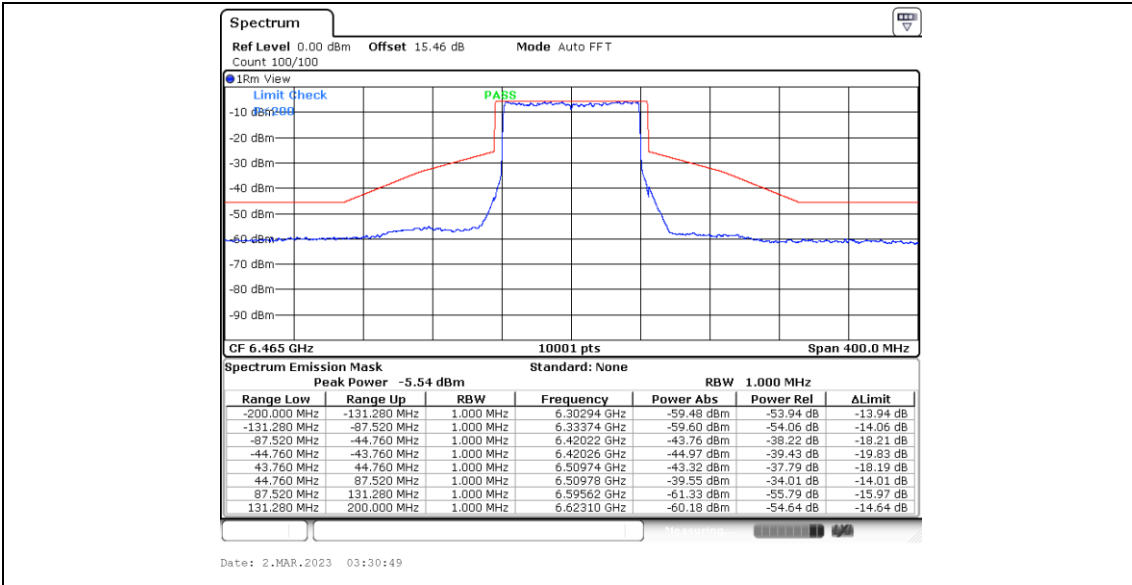
11BE80MIMO_Ant1_6385



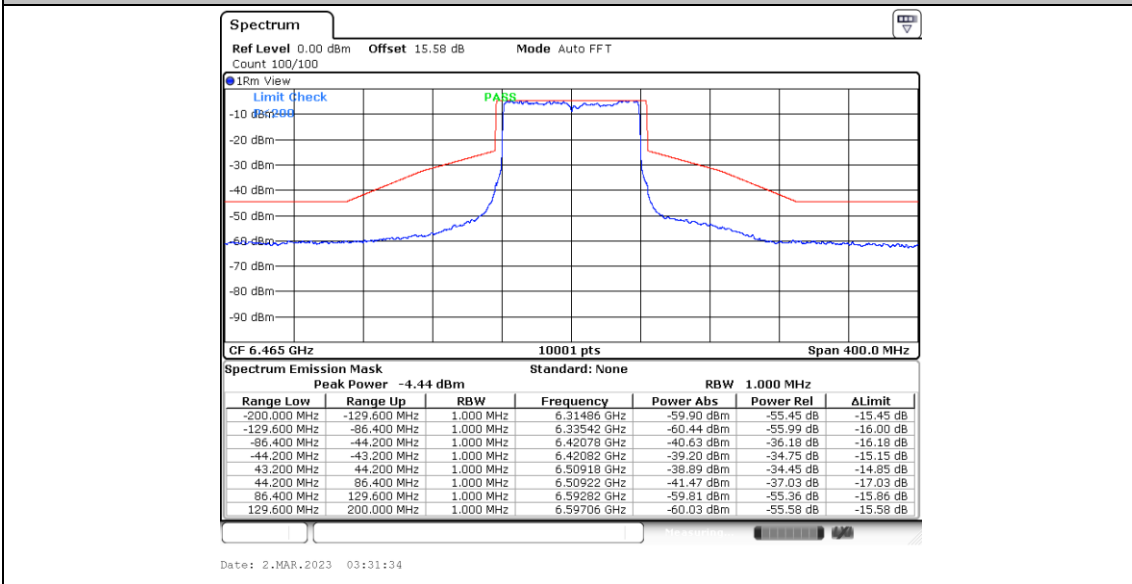
11BE80MIMO_Ant2_6385



11BE80MIMO_Ant1_6465



11BE80MIMO_Ant2_6465



11BE80MIMO_Ant1_6545